

FIG. 1

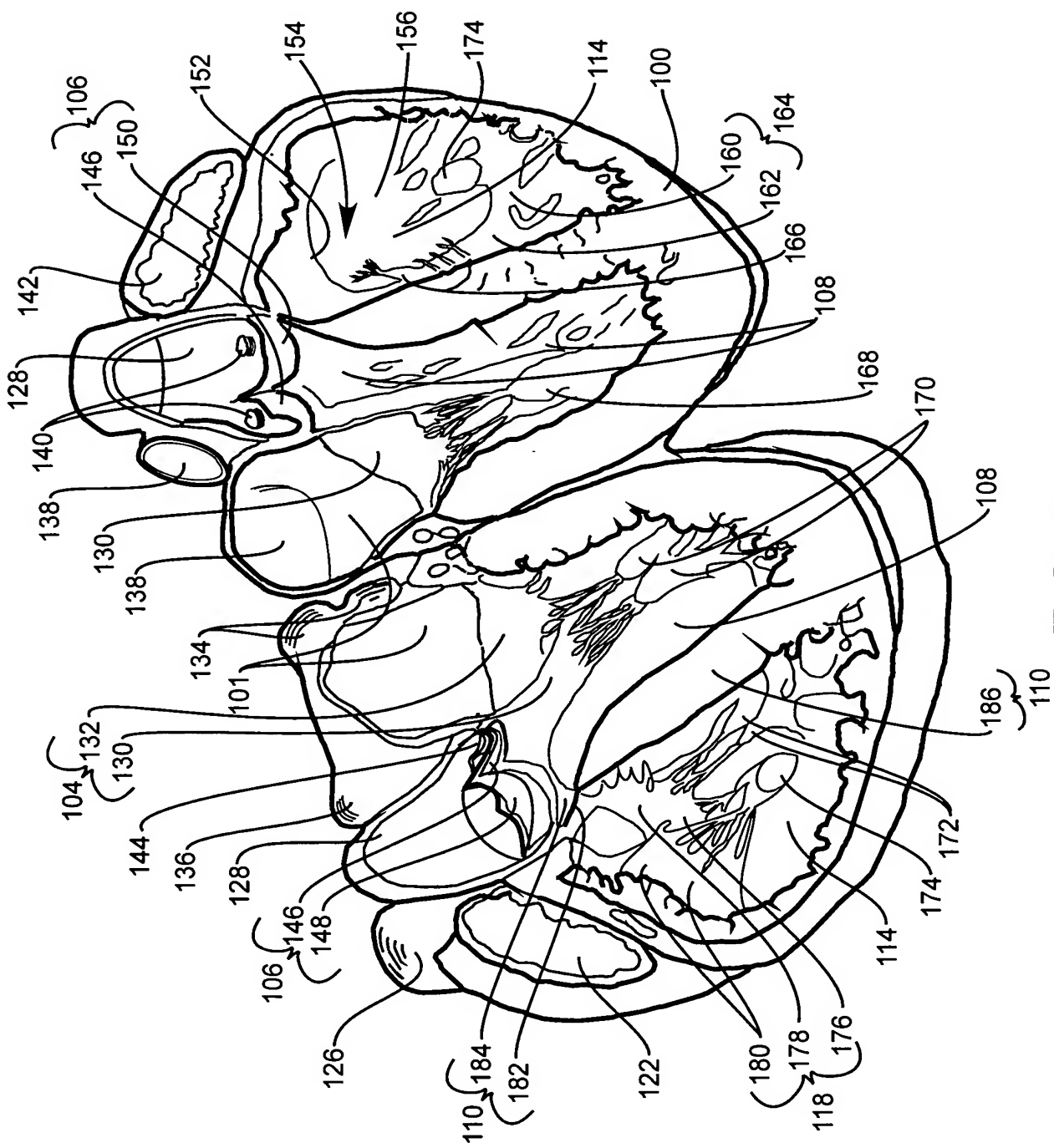
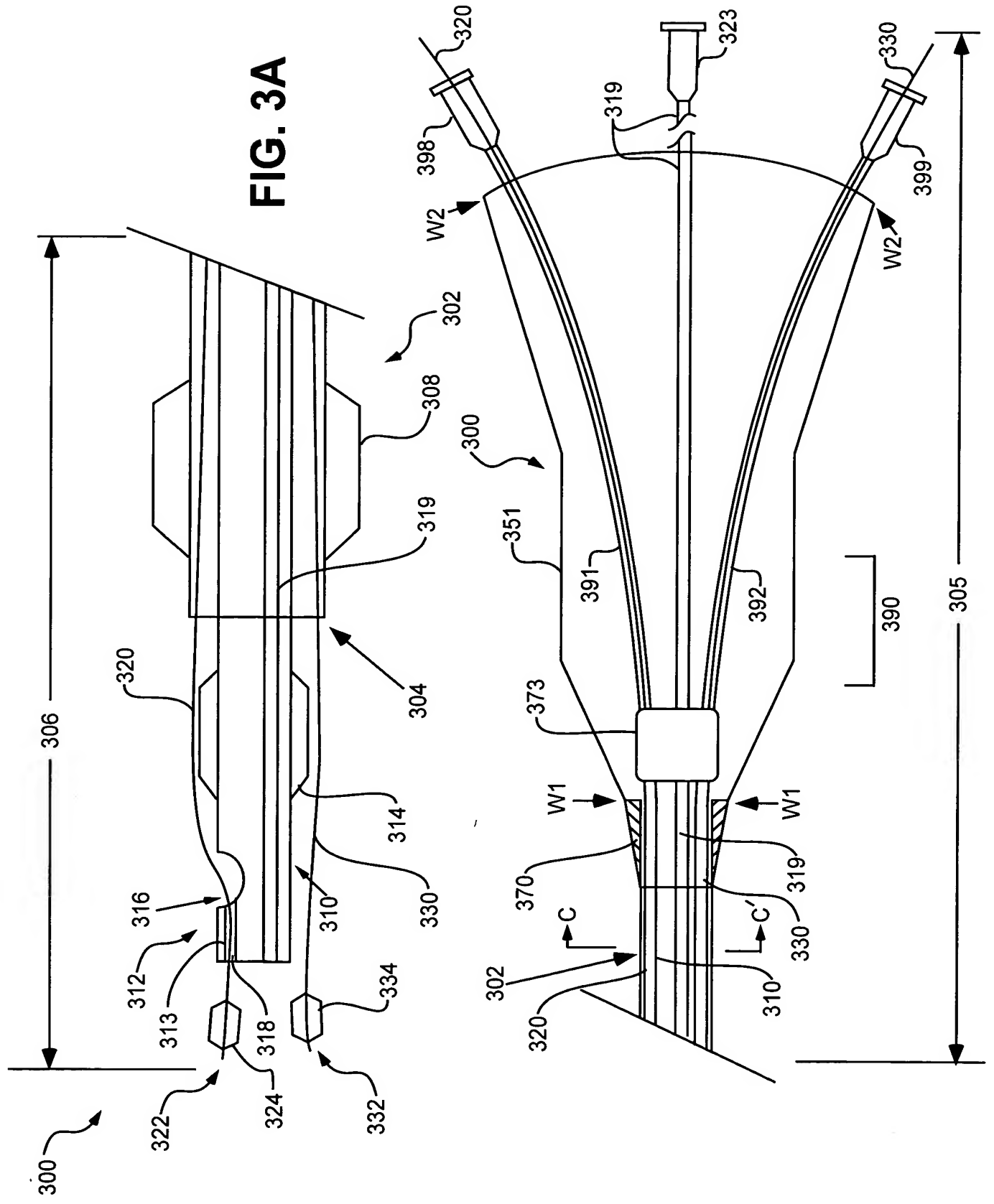


FIG. 2

FIG. 3A



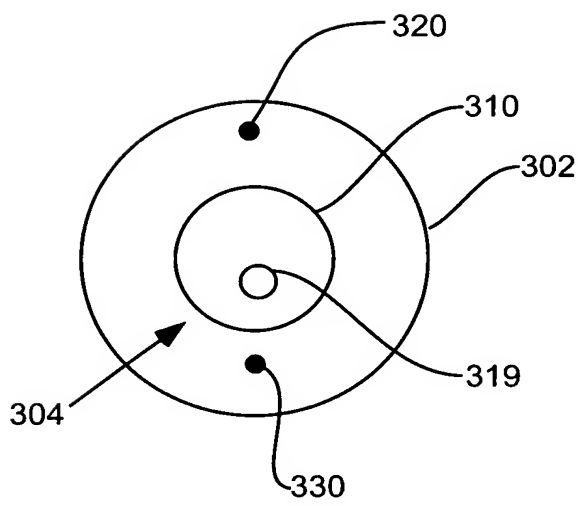


FIG. 3B

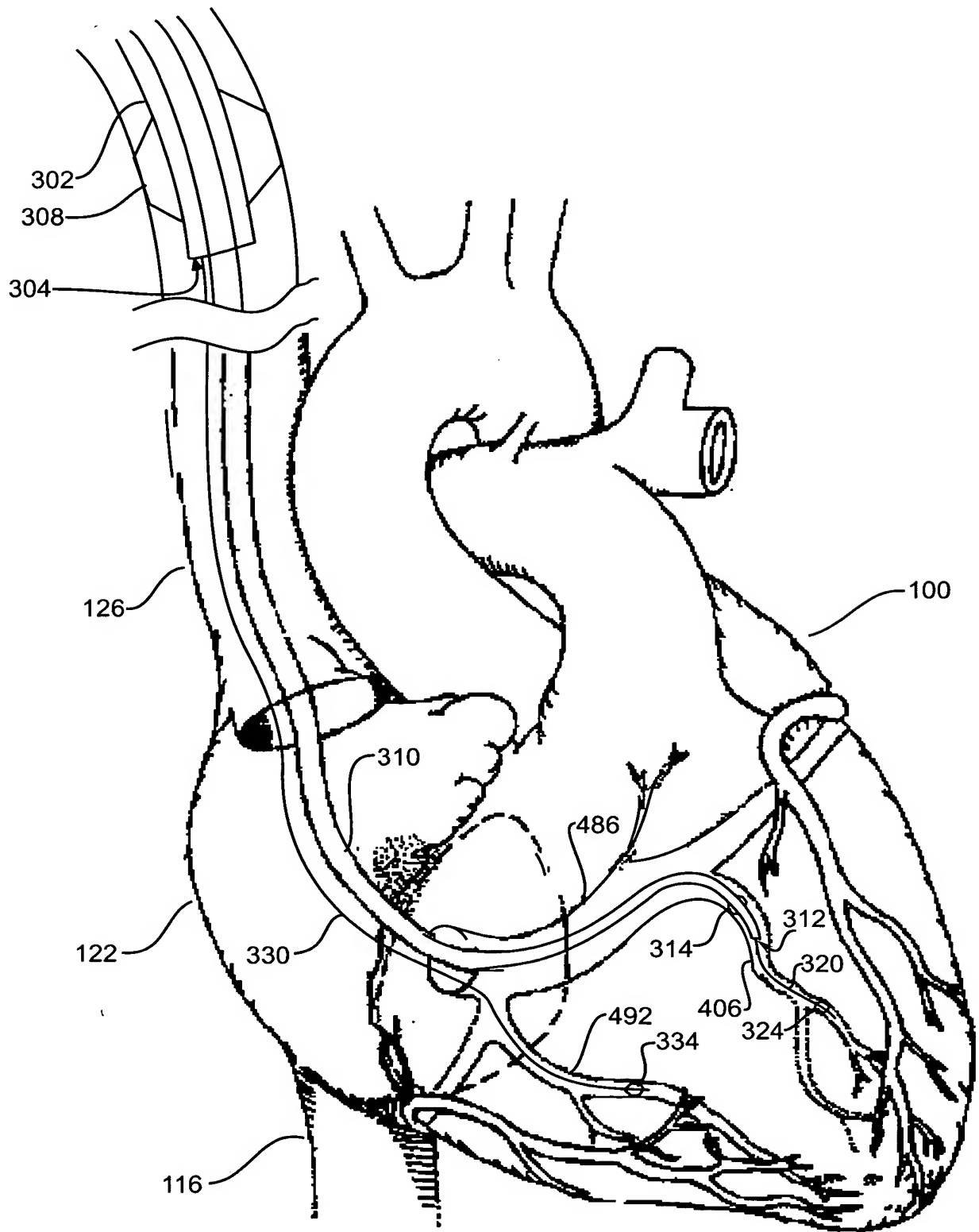


FIG. 4

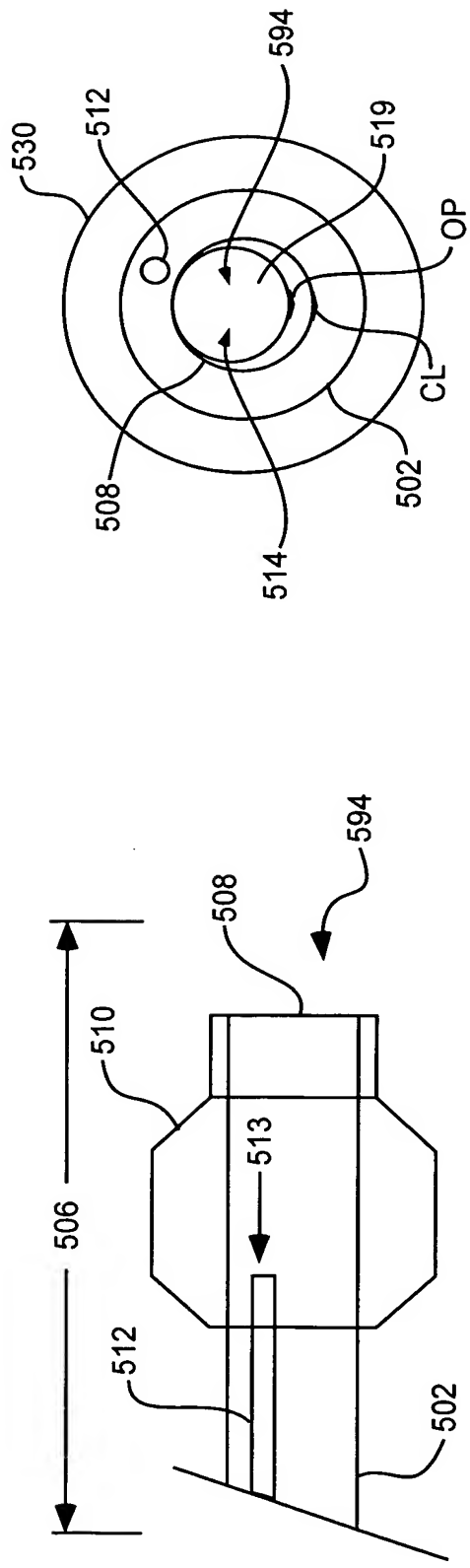


FIG. 6

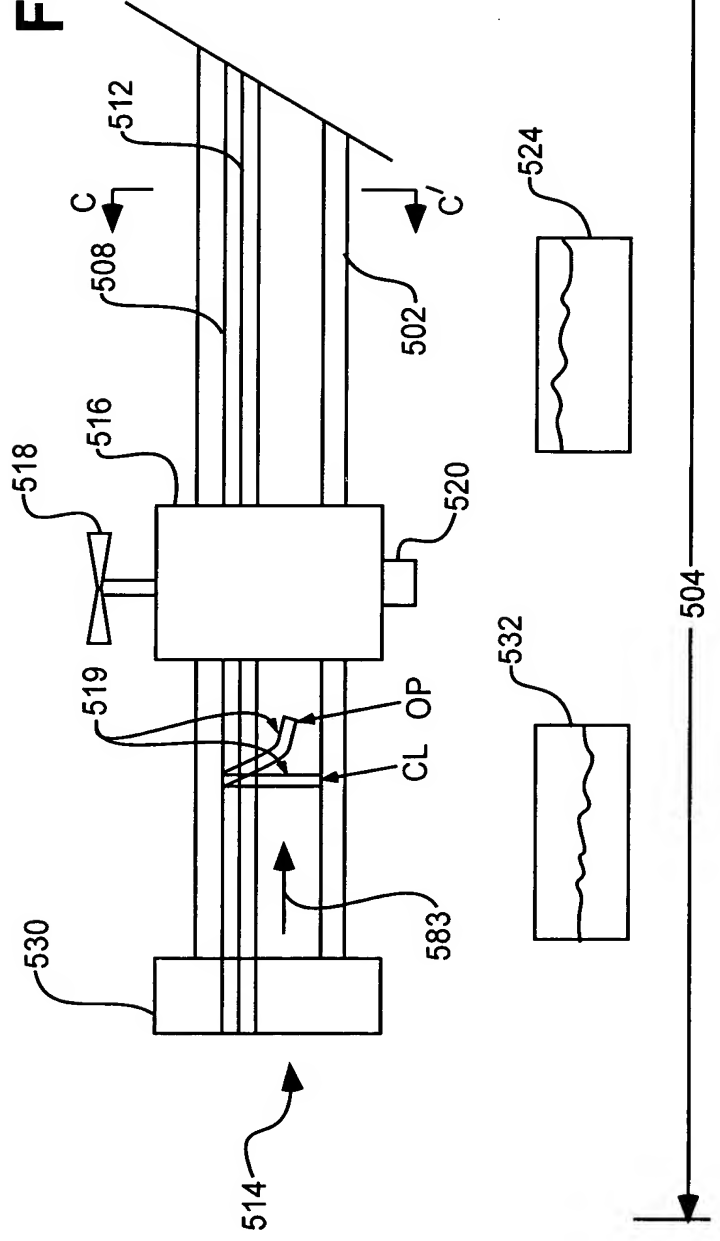
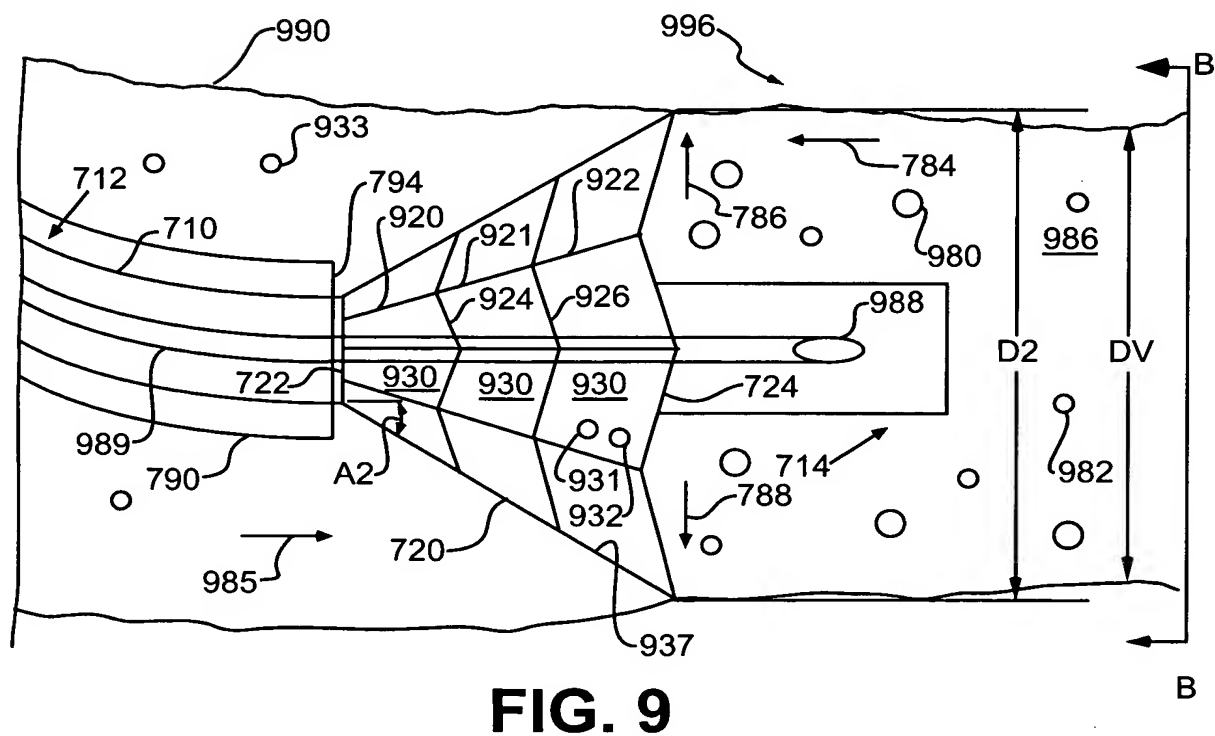
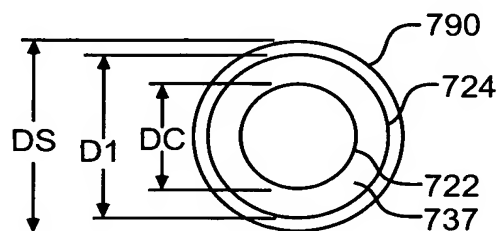
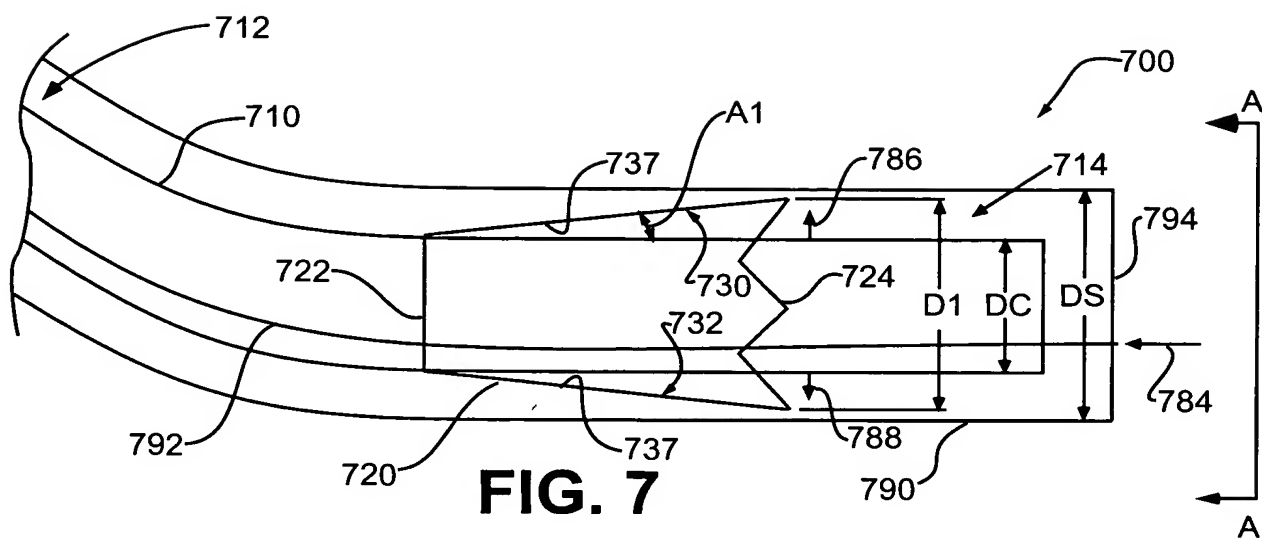
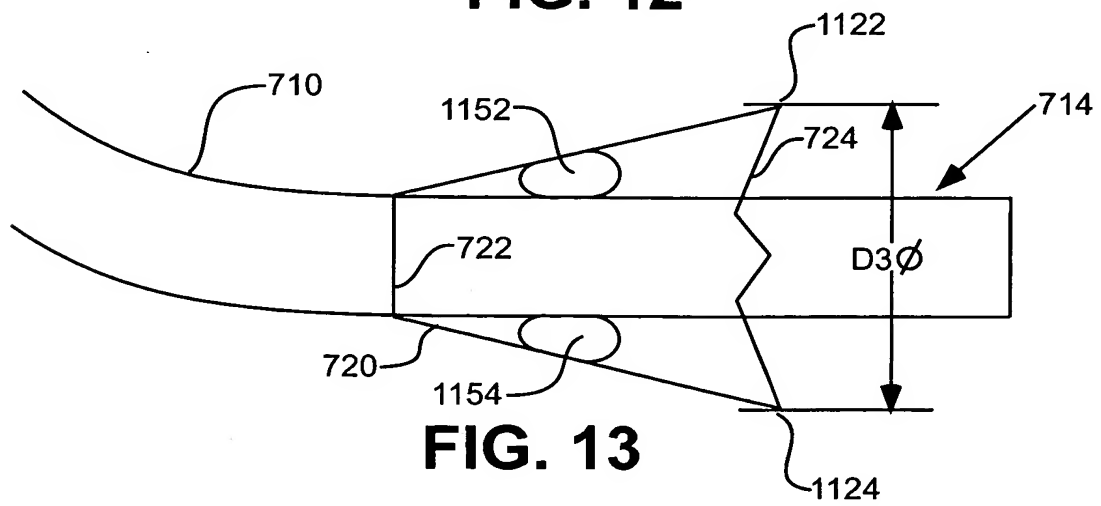
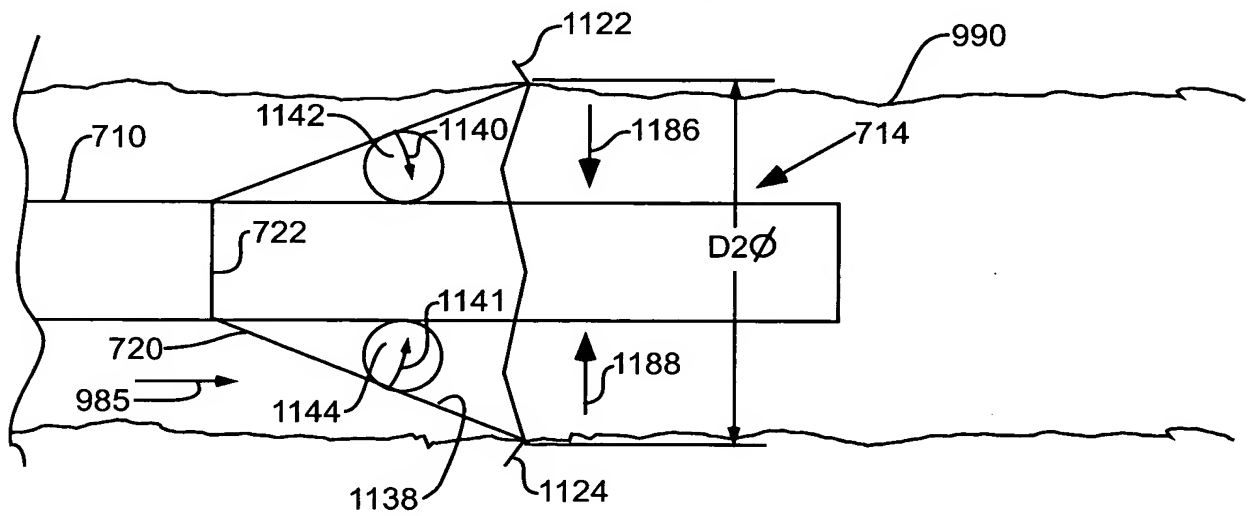
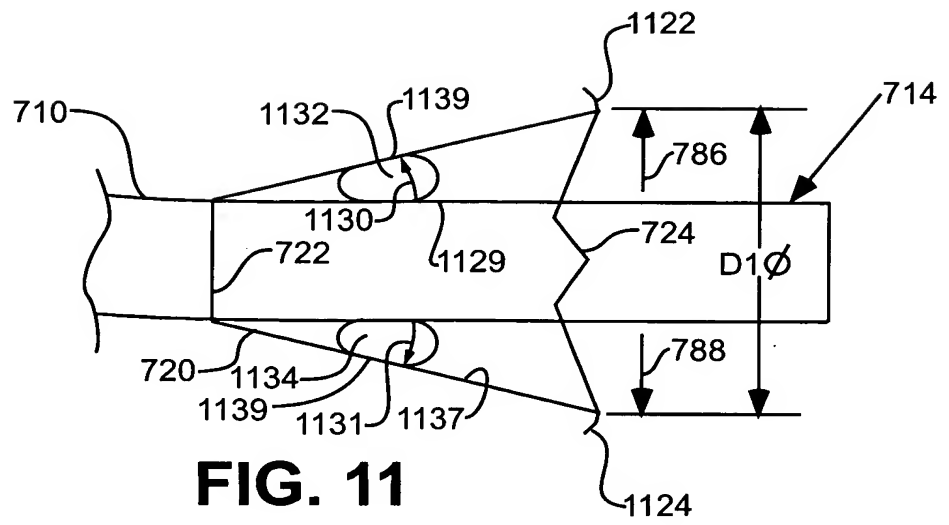


FIG. 5





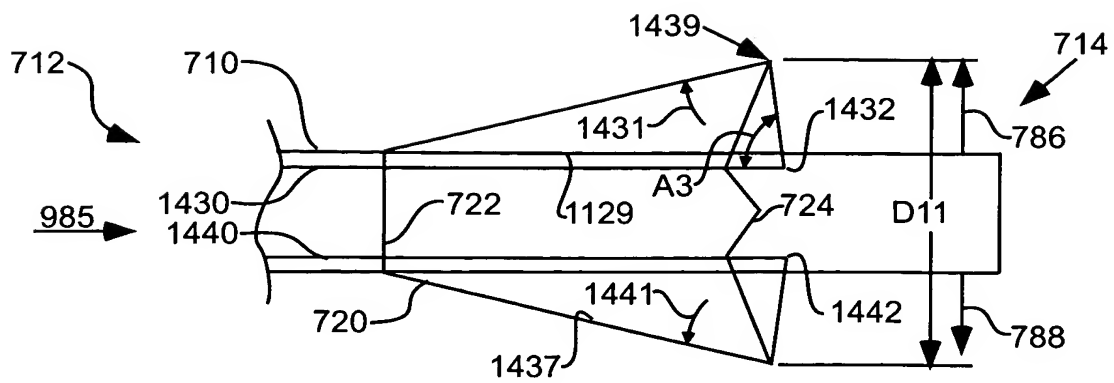


FIG. 14

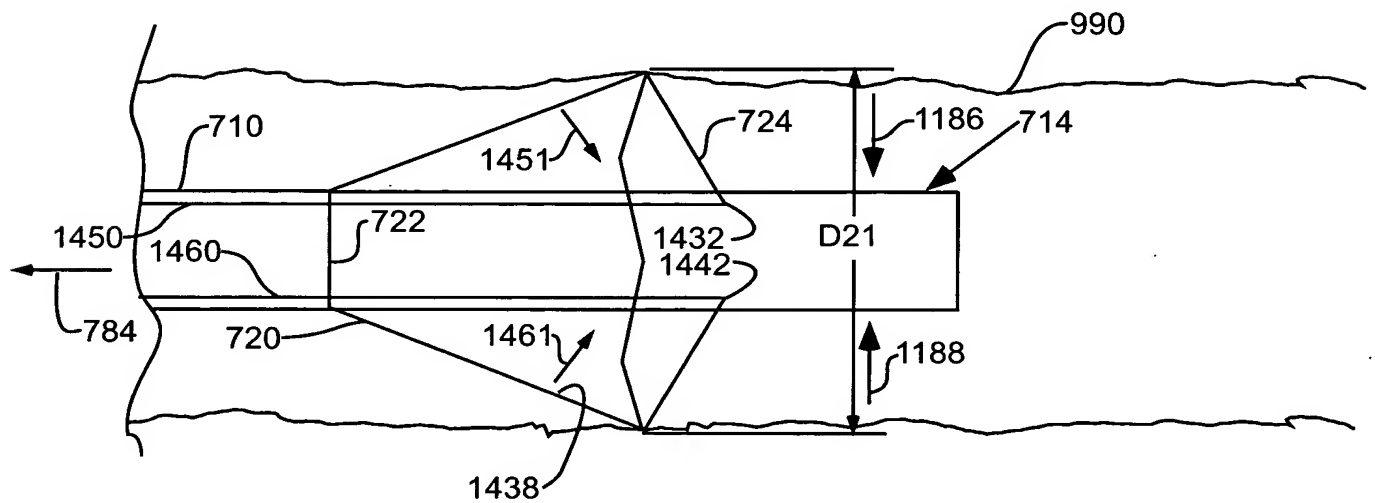


FIG. 15

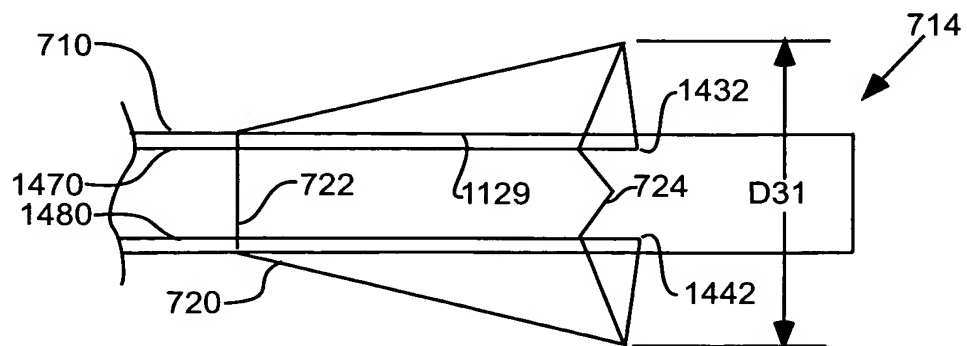


FIG. 16

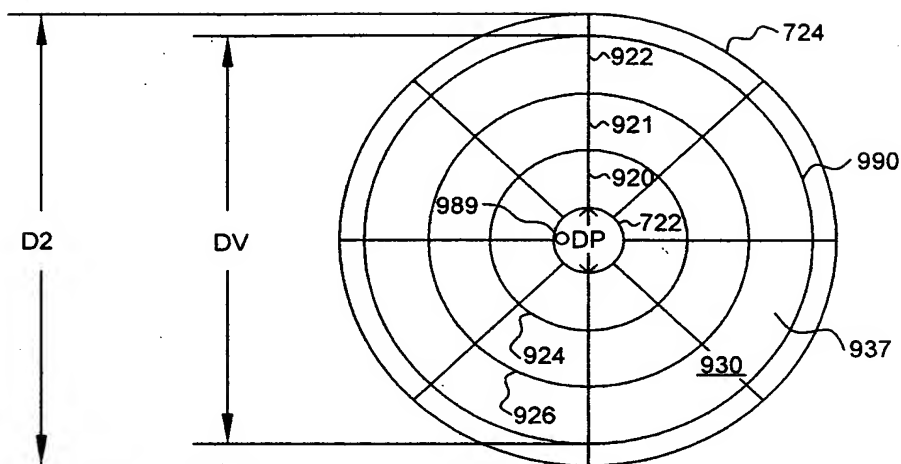


FIG. 10

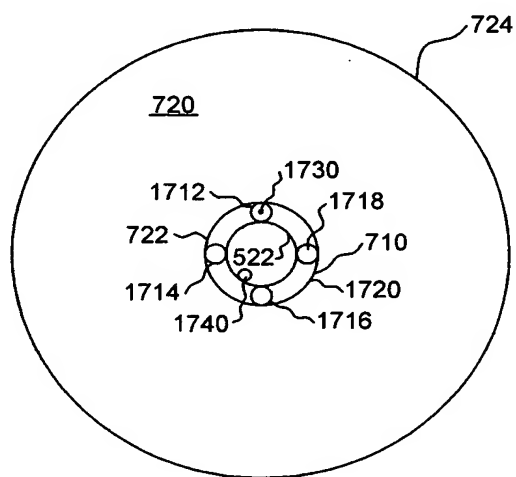


FIG. 17

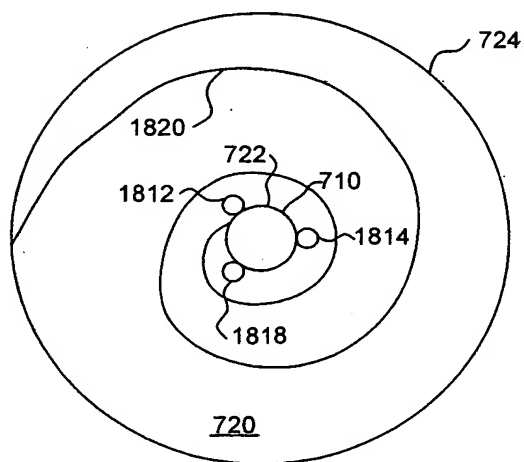


FIG. 18

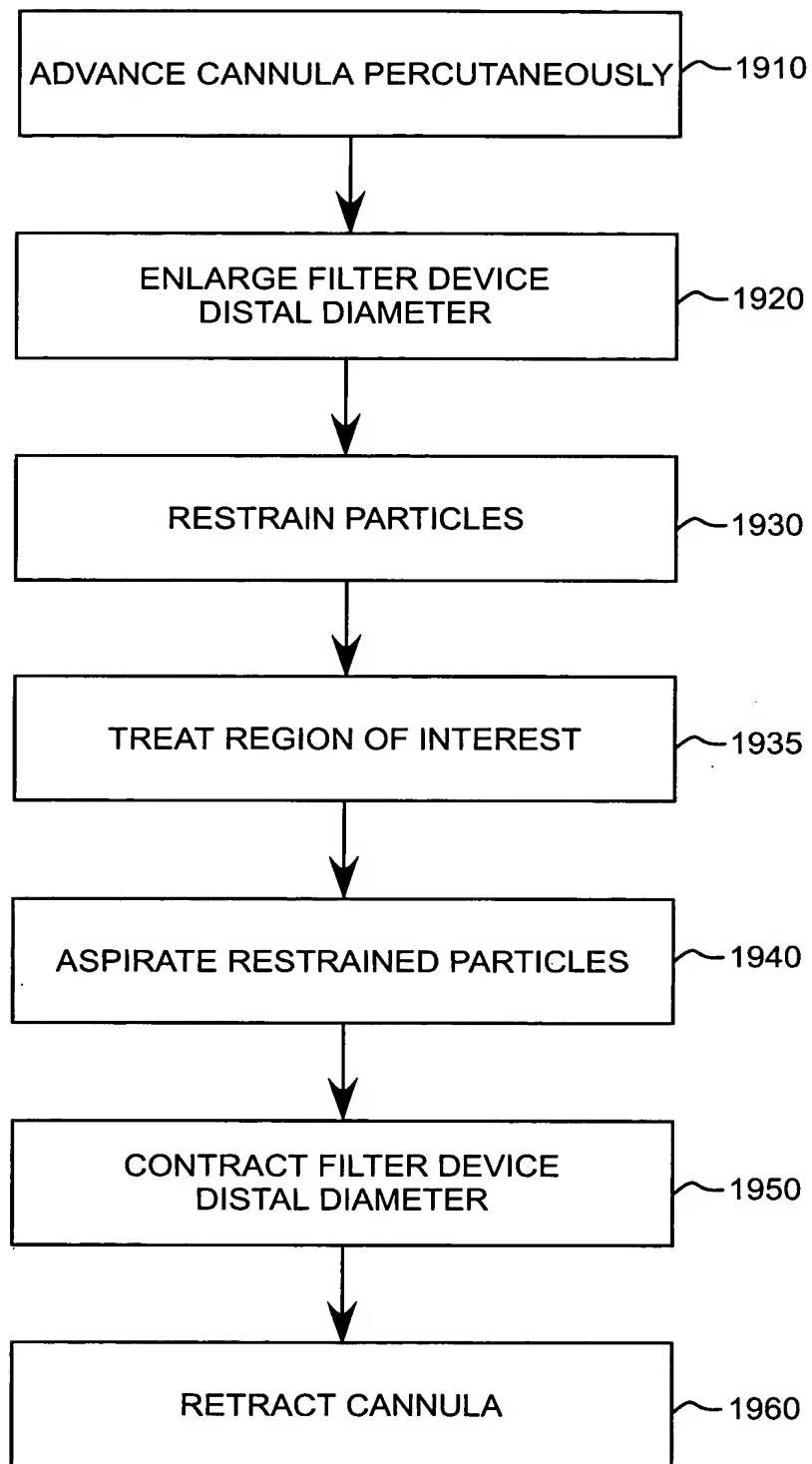


FIG. 19

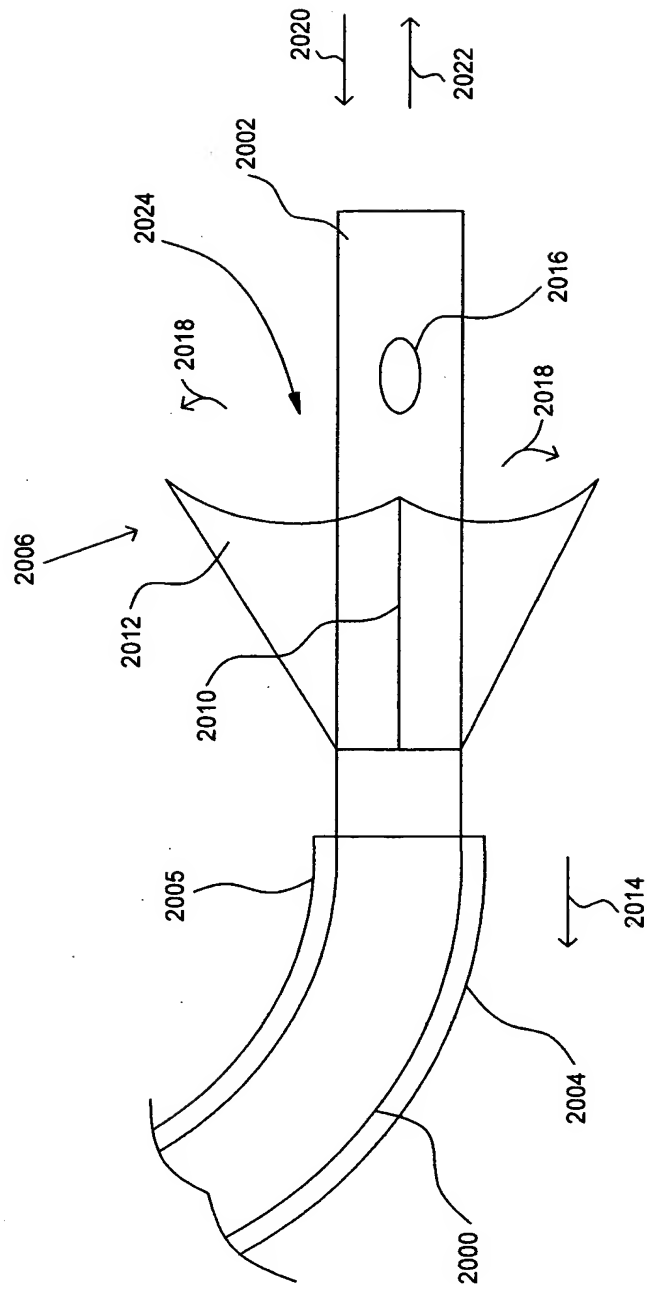


FIG. 20

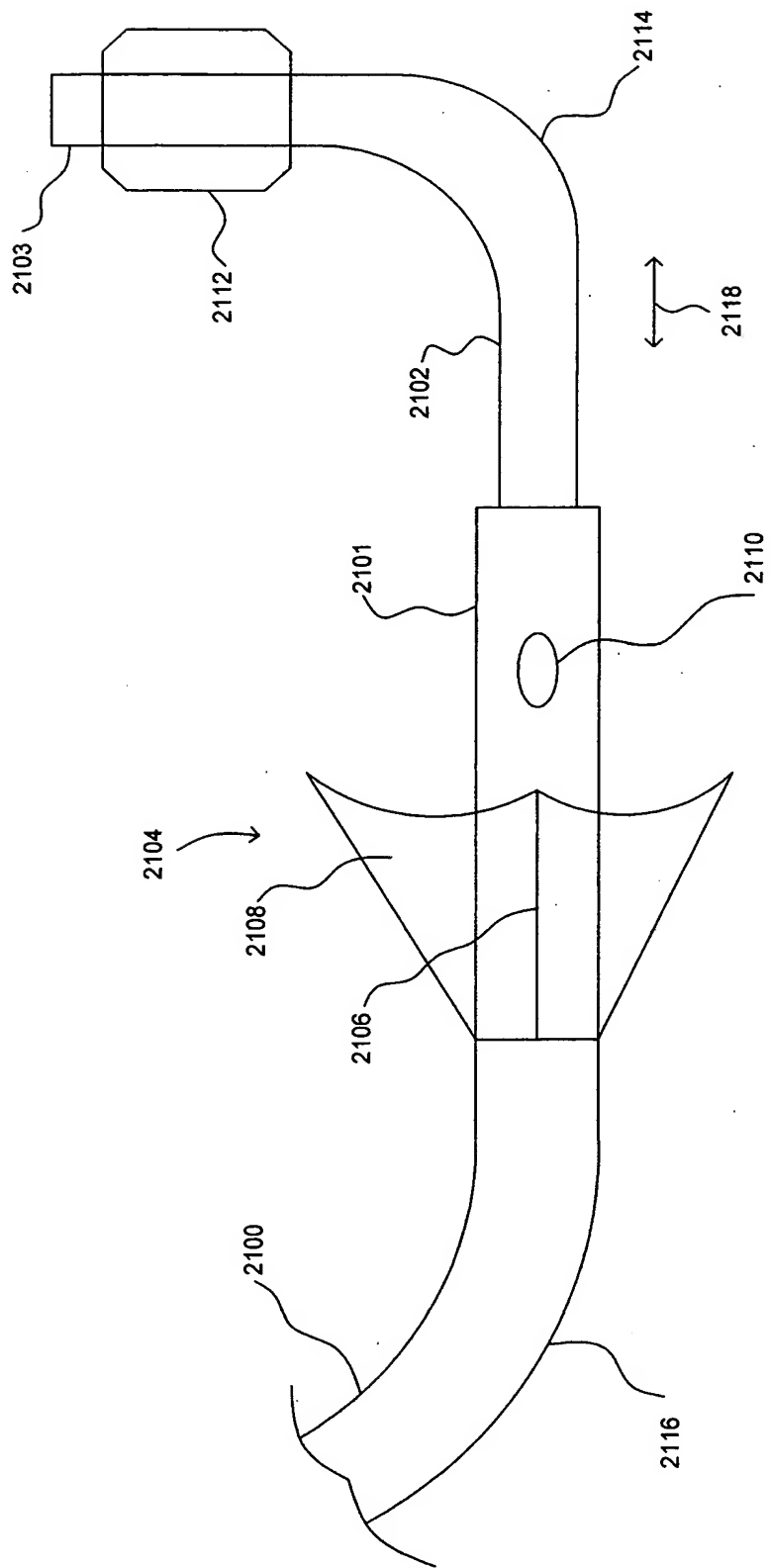


FIG. 21

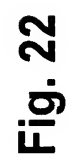


Fig. 22

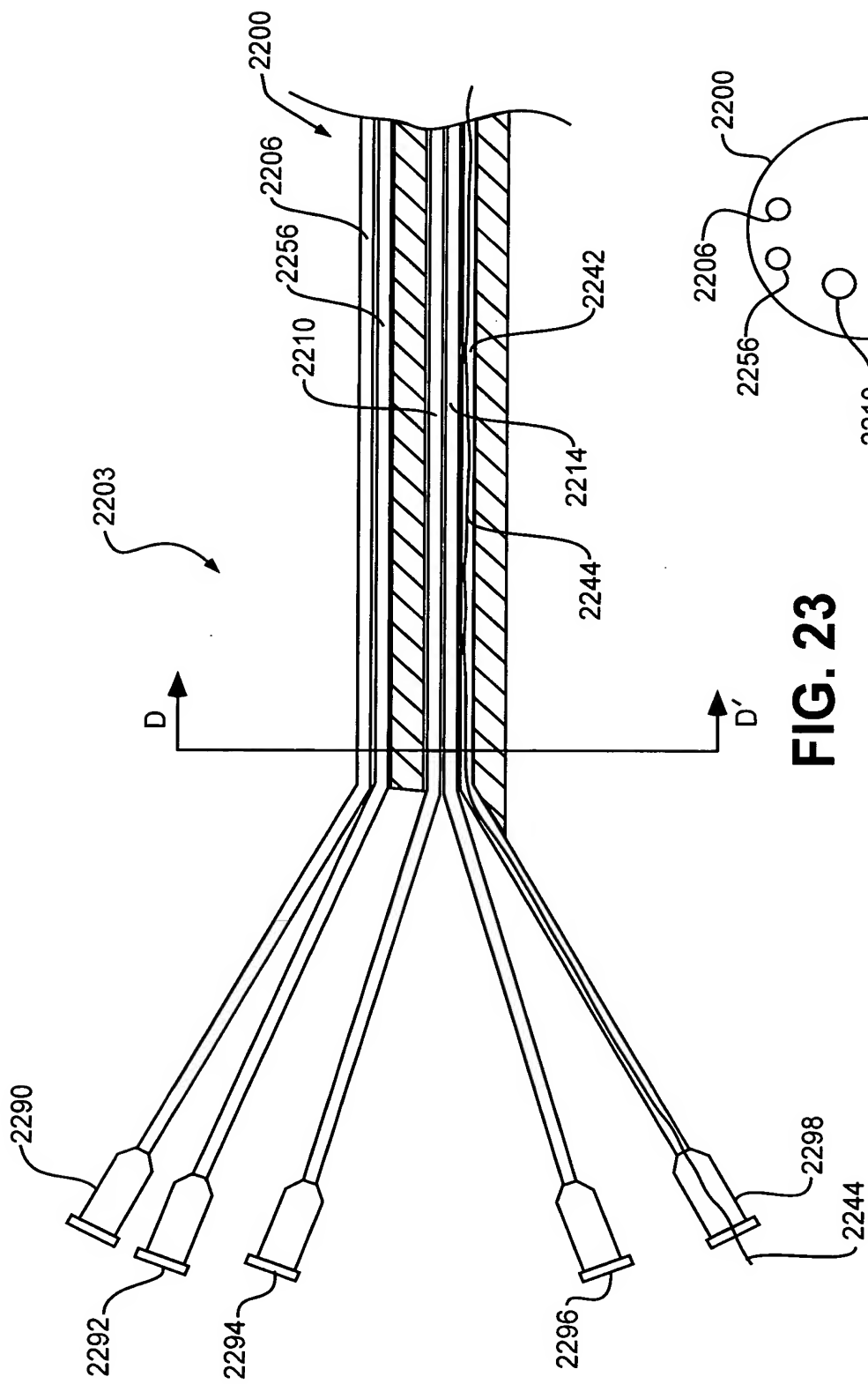


FIG. 23

FIG. 24

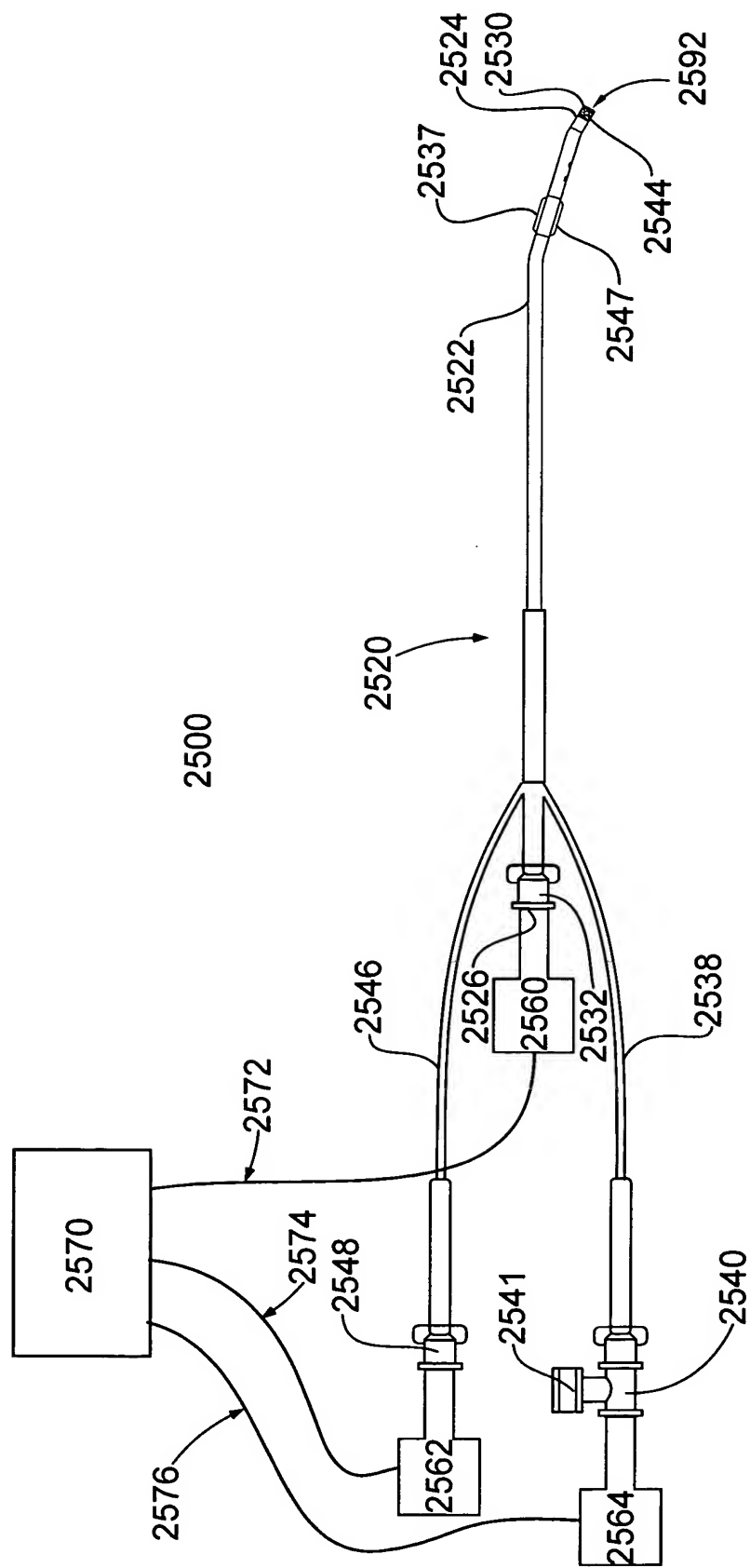


FIG. 25

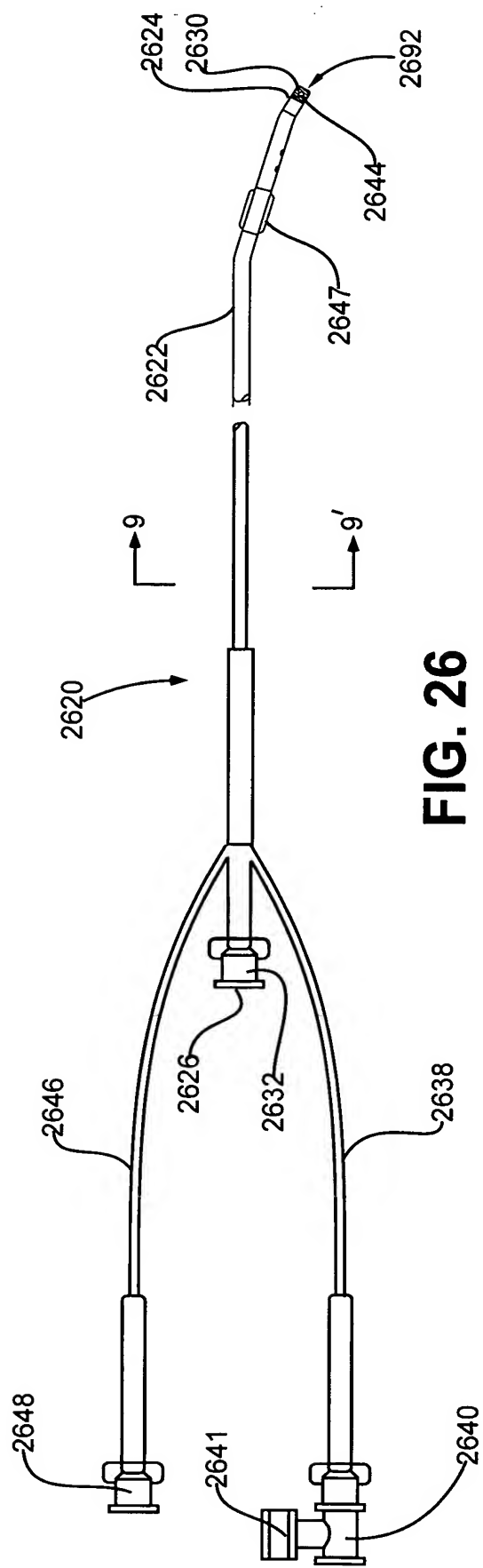


FIG. 26

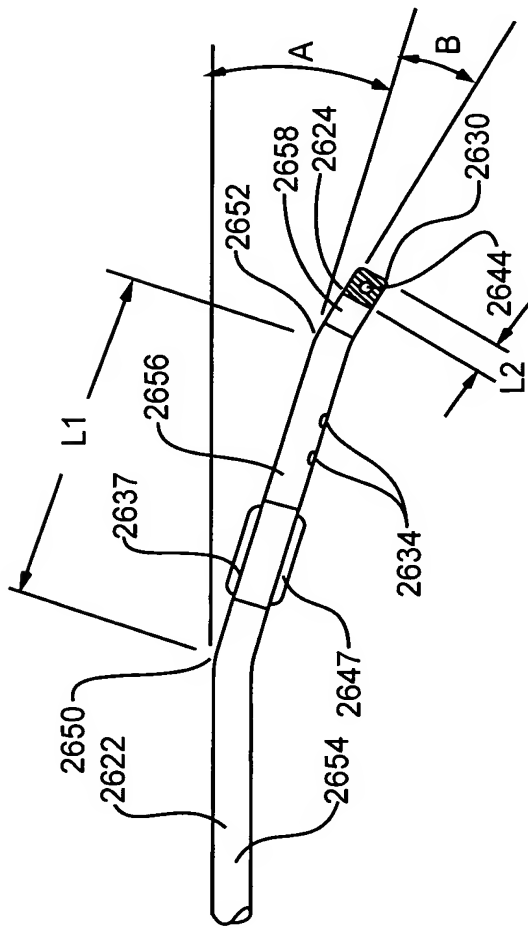


FIG. 27

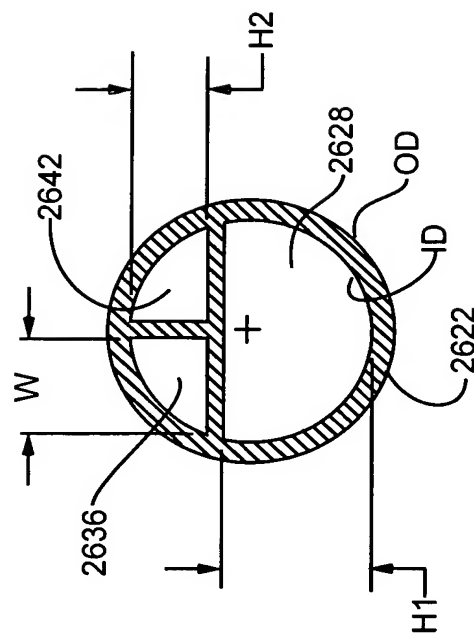


FIG. 28

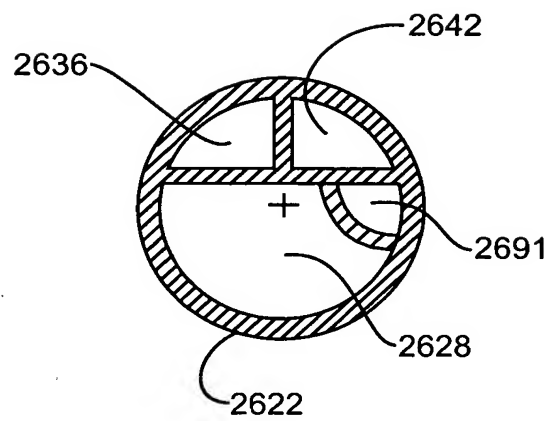


FIG. 29

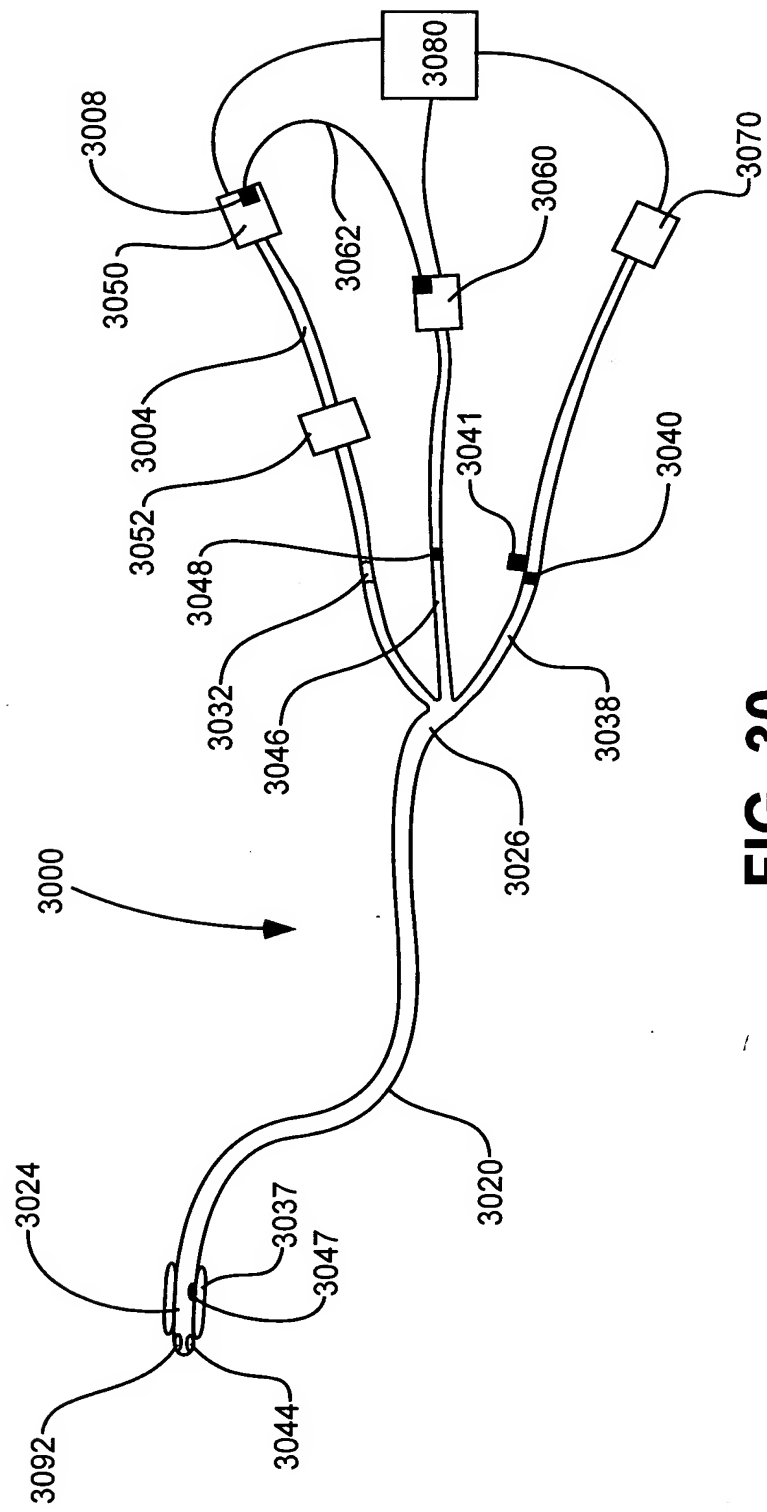


FIG. 30

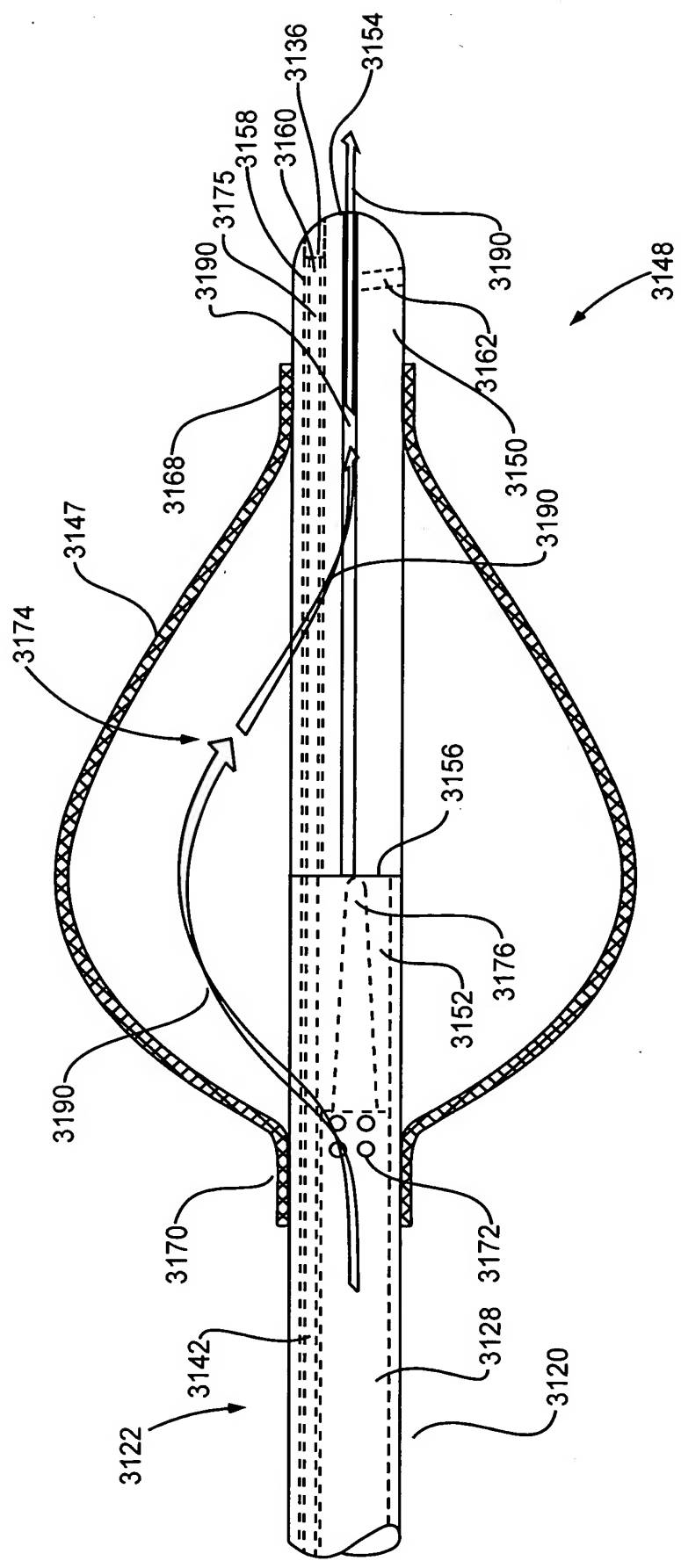


FIG. 31

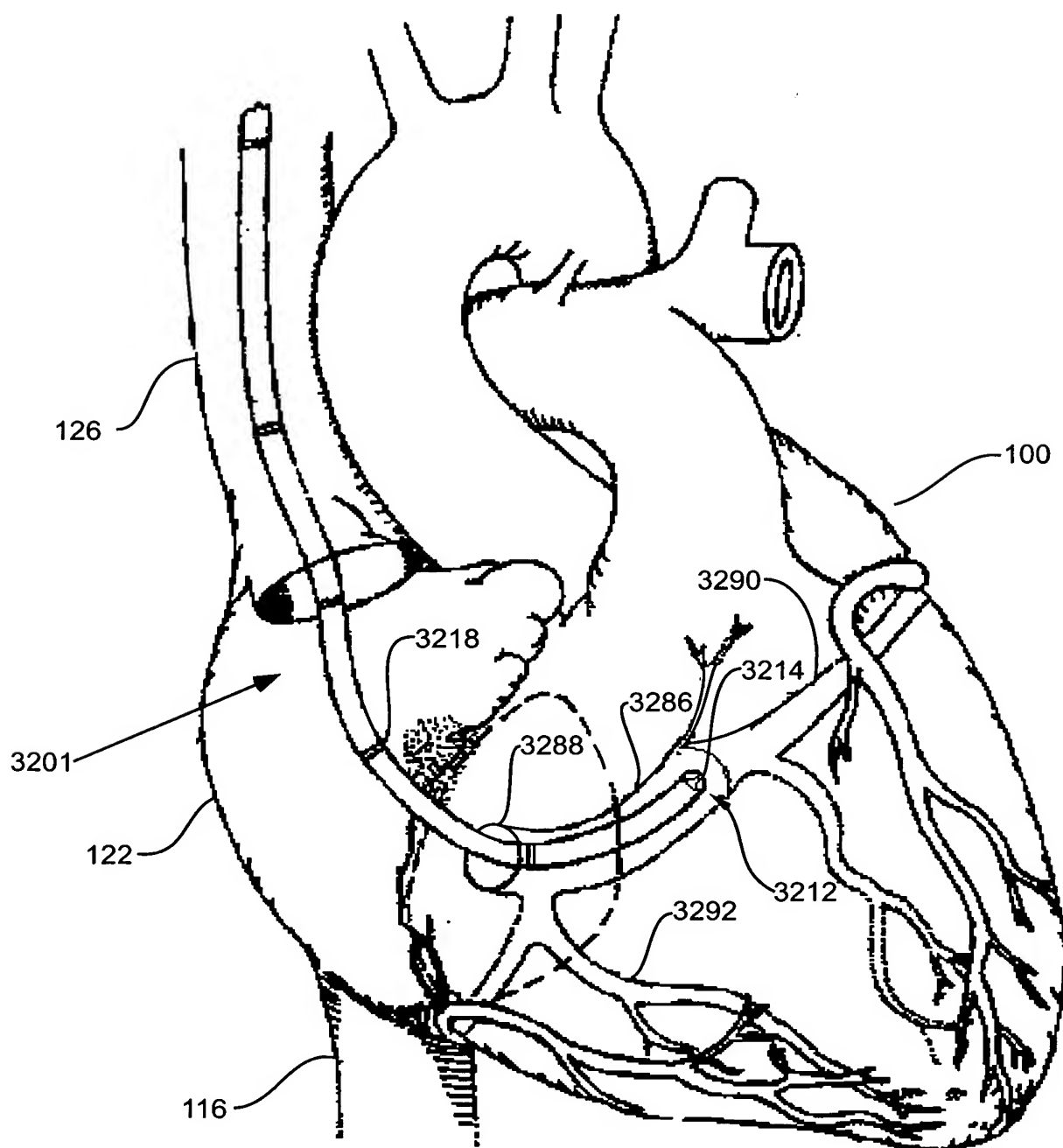


FIG. 32

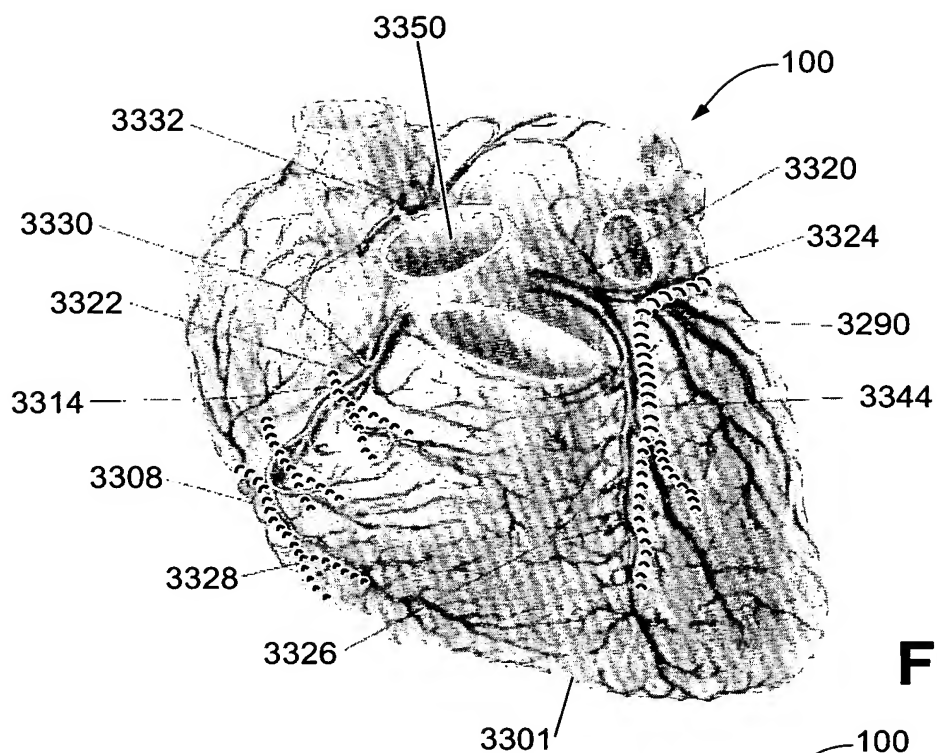


FIG. 34

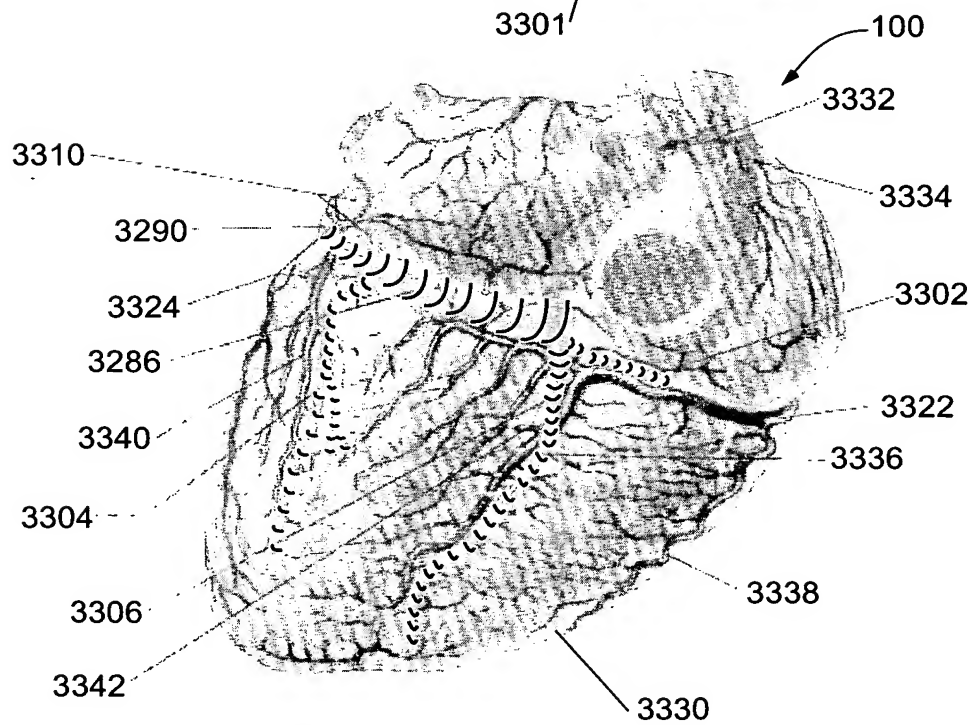


FIG. 33

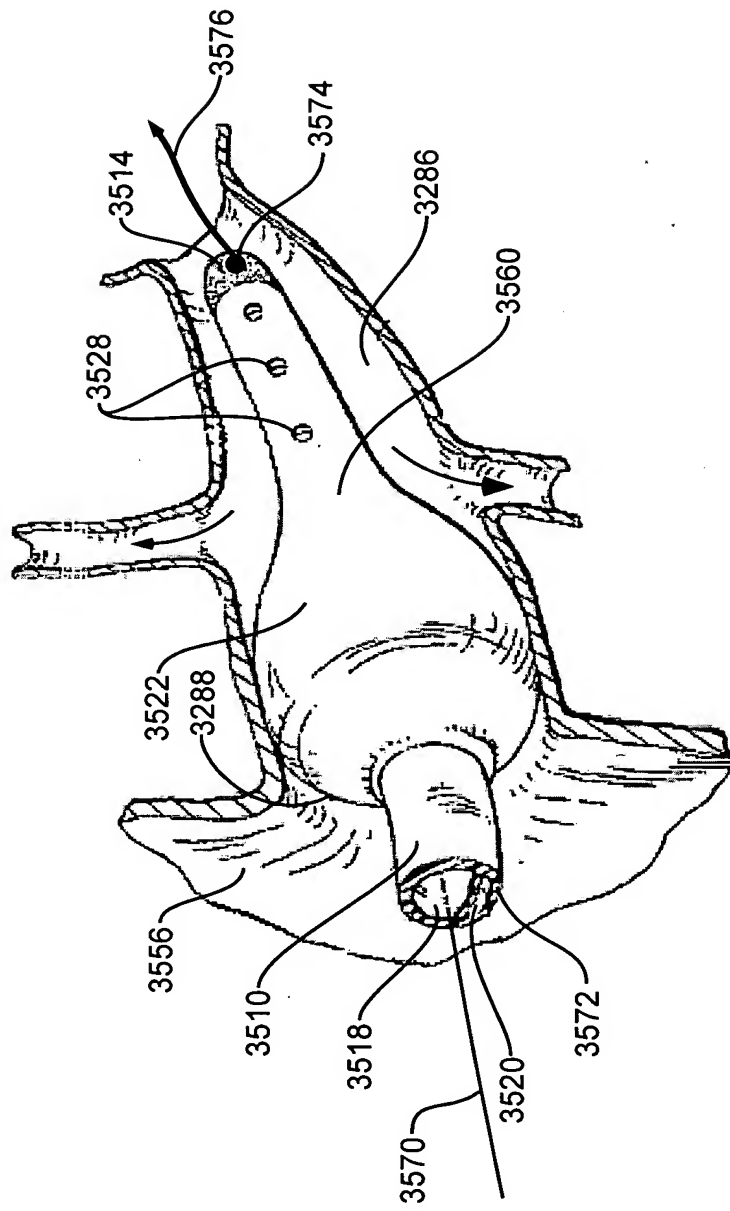


FIG. 35

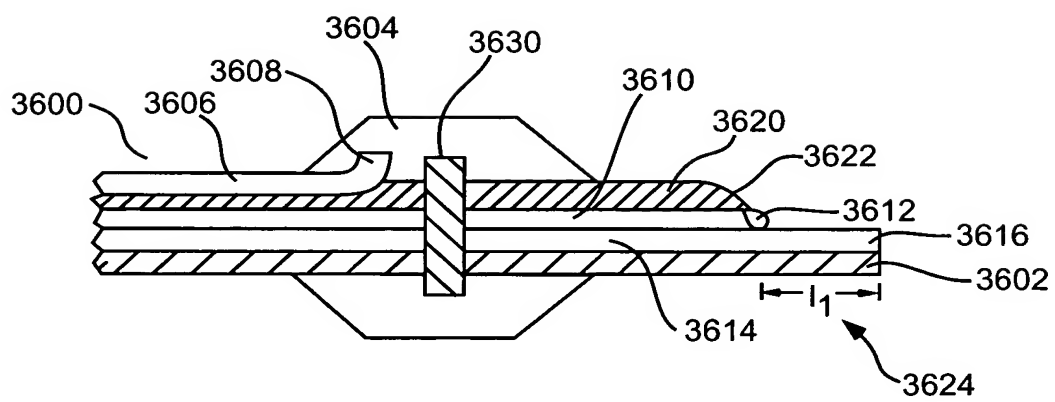


Fig. 36

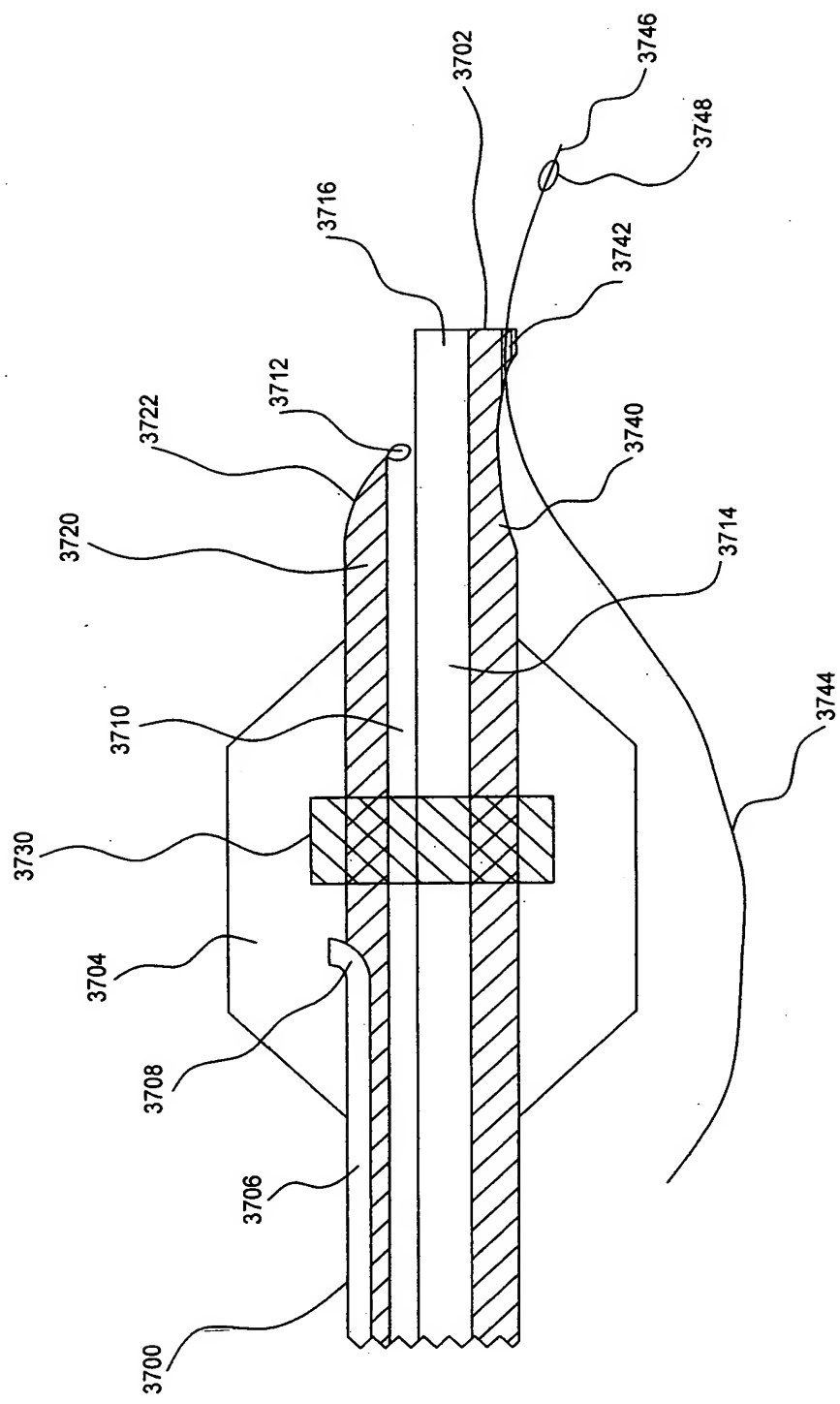


FIG. 37

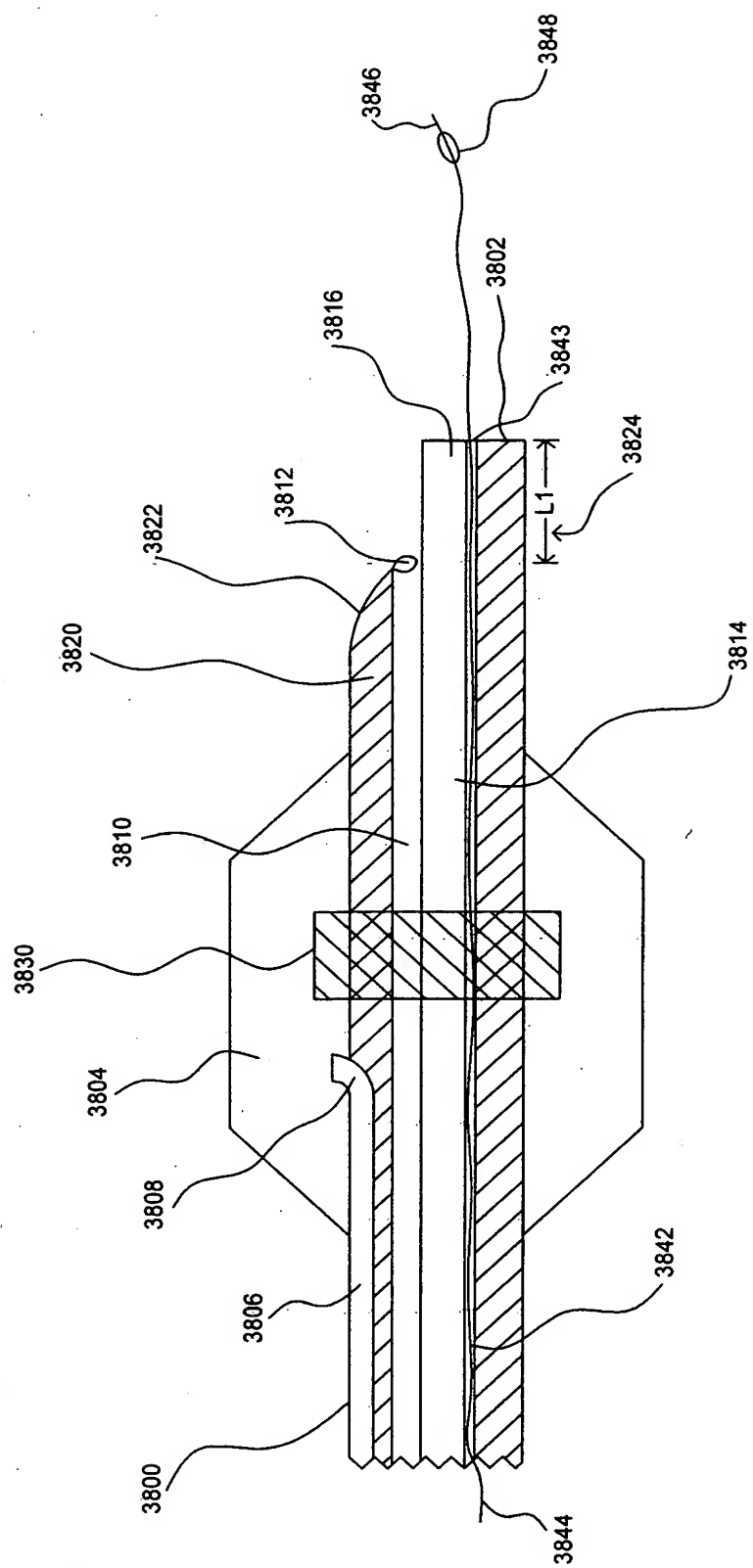
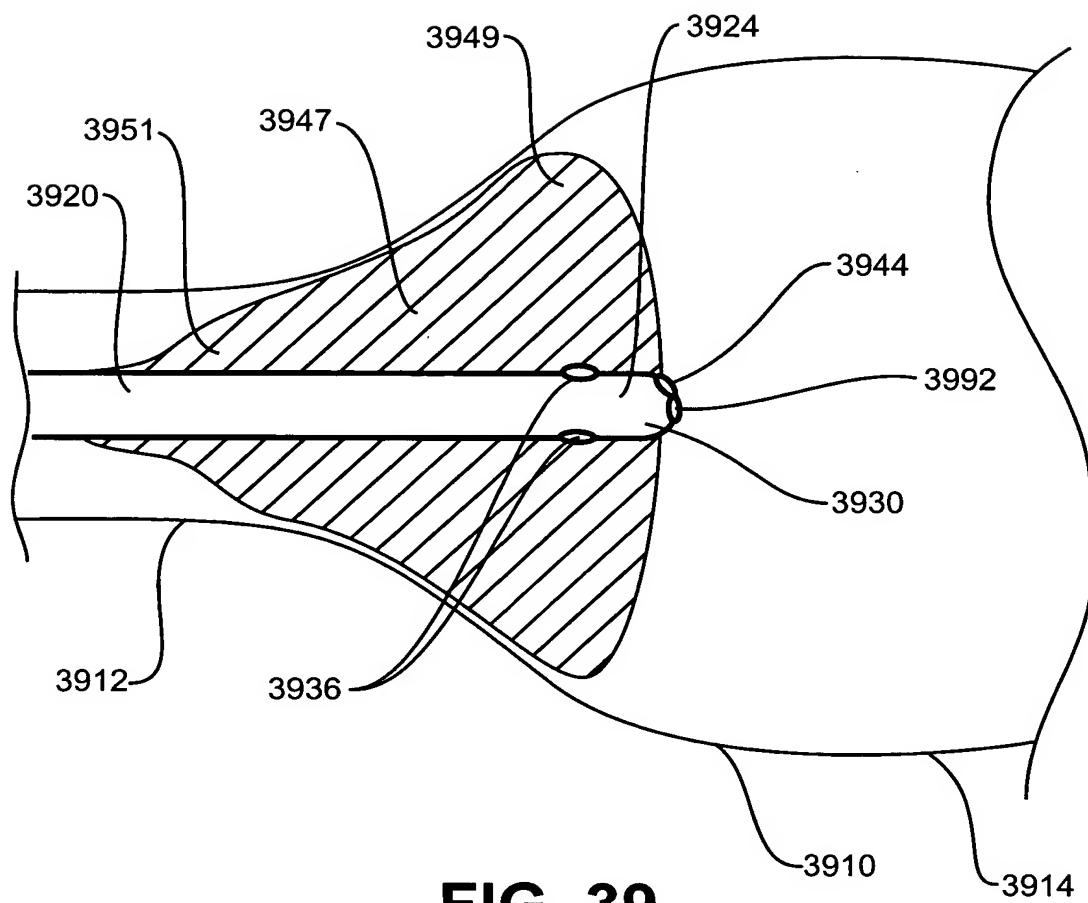


FIG. 38



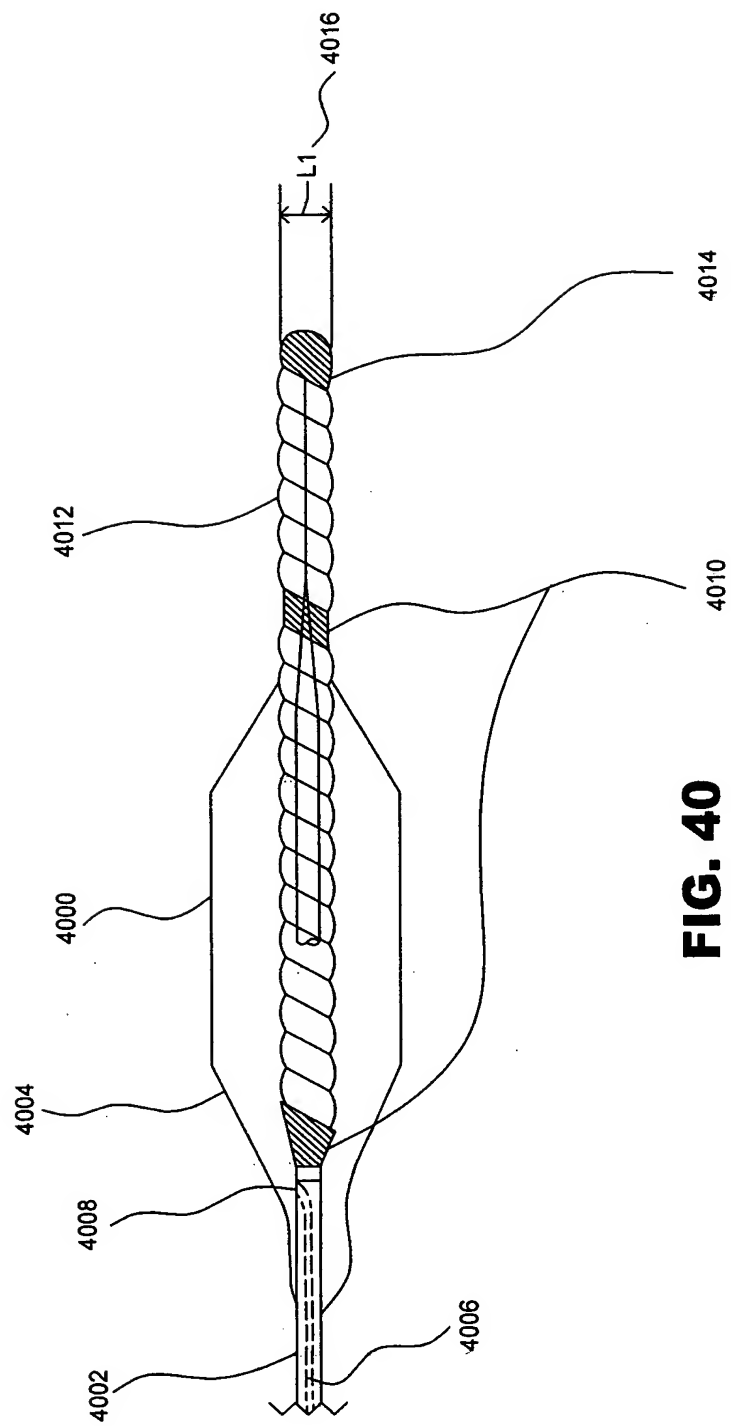


FIG. 40

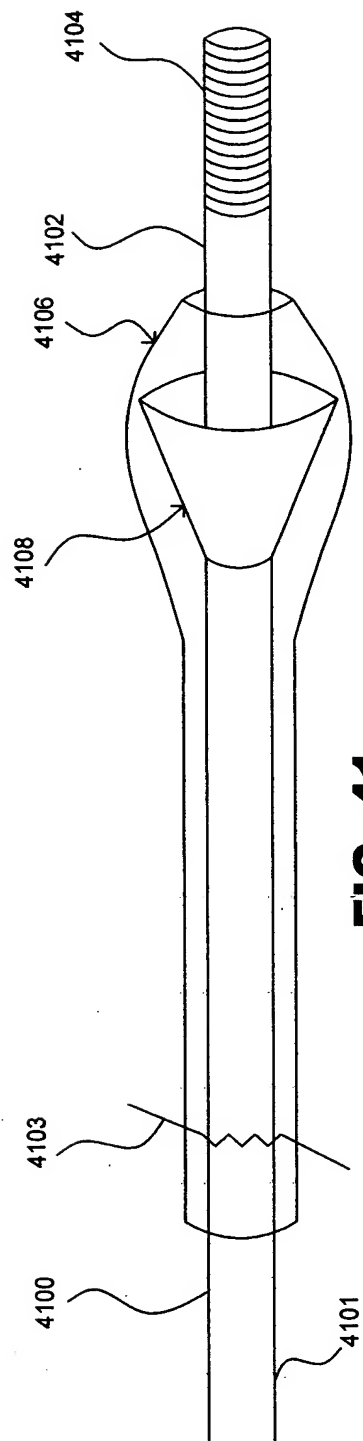


FIG. 41

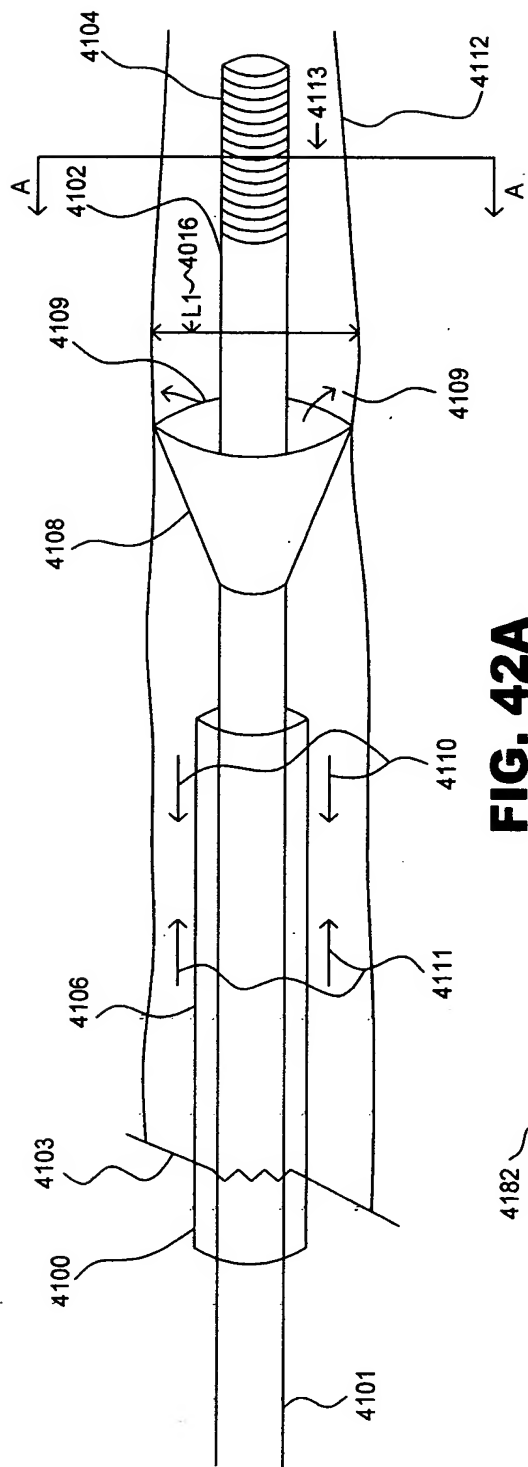


FIG. 42A

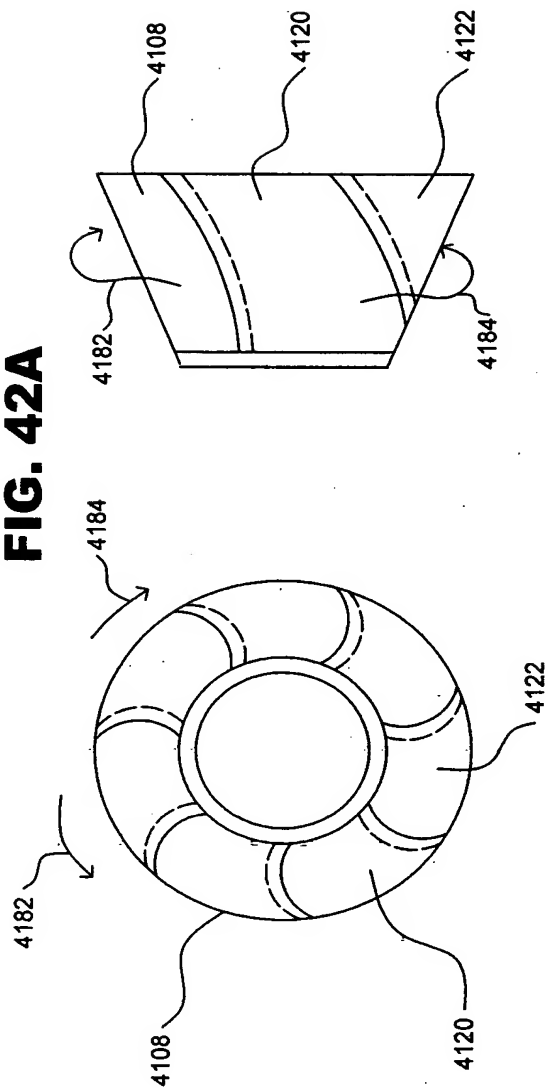


FIG. 42B

FIG. 42C

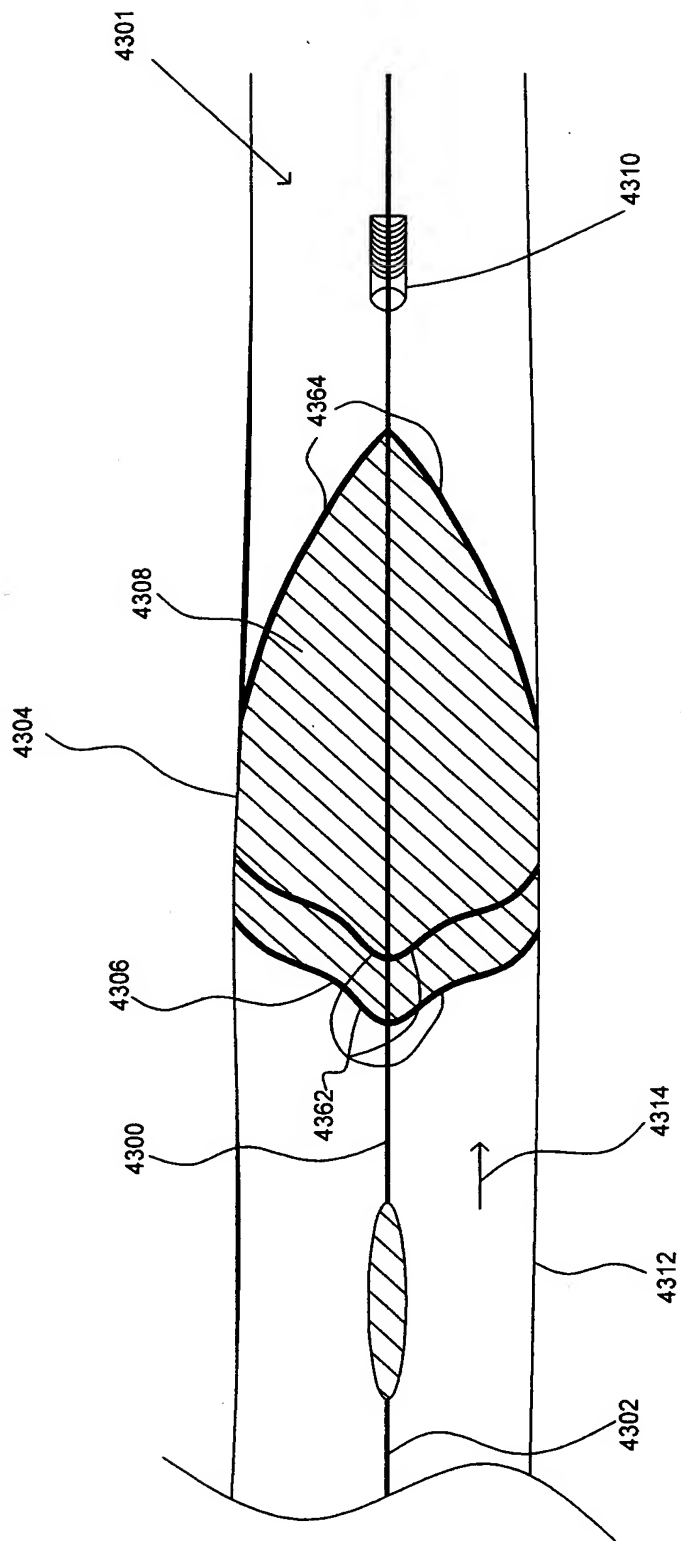


FIG. 43

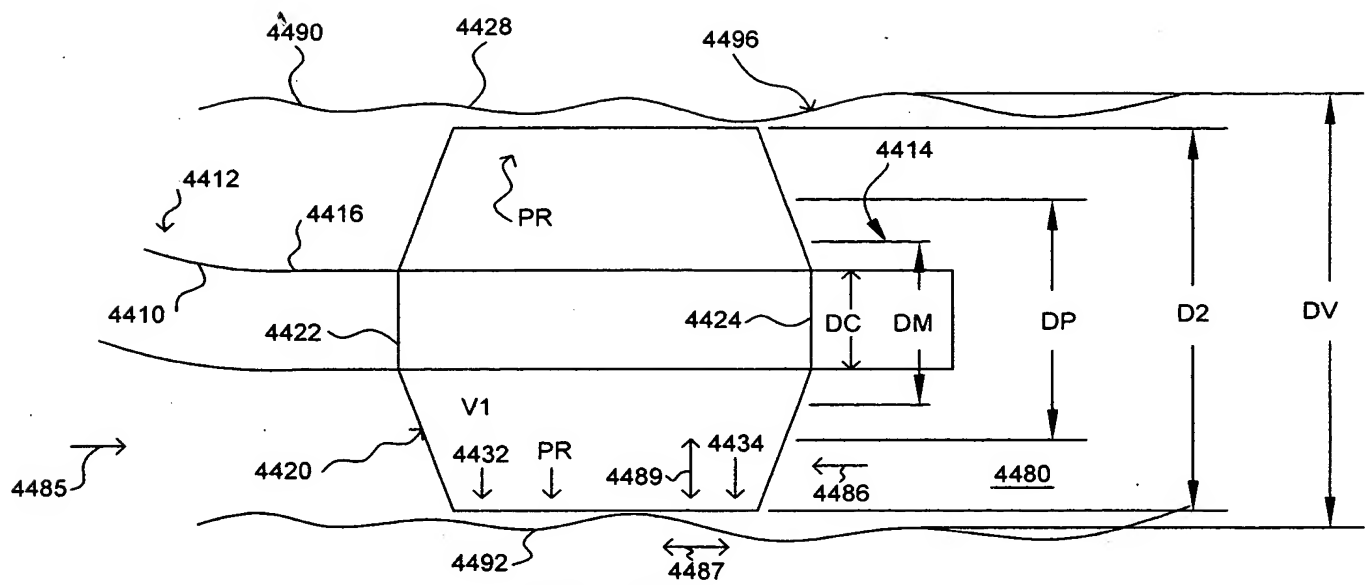


FIG. 44

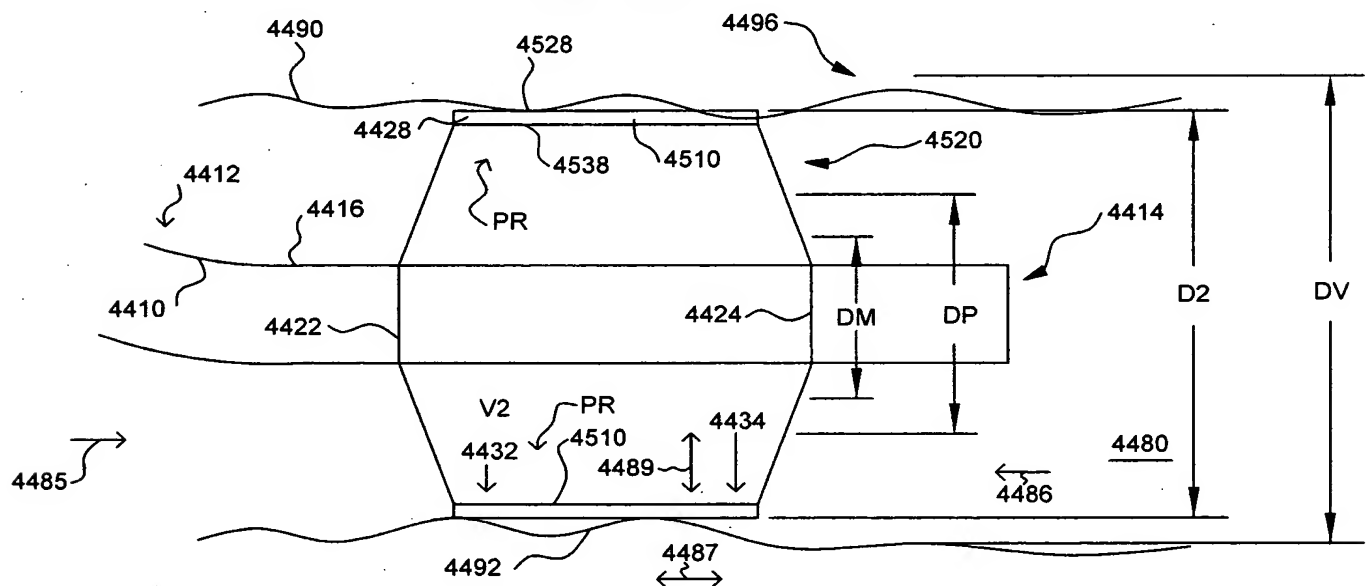


FIG. 45

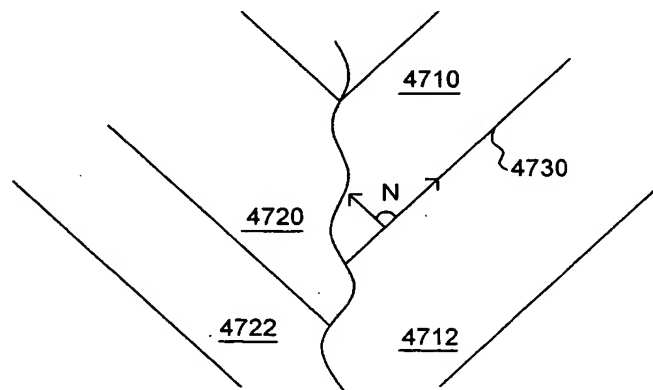


FIG. 47

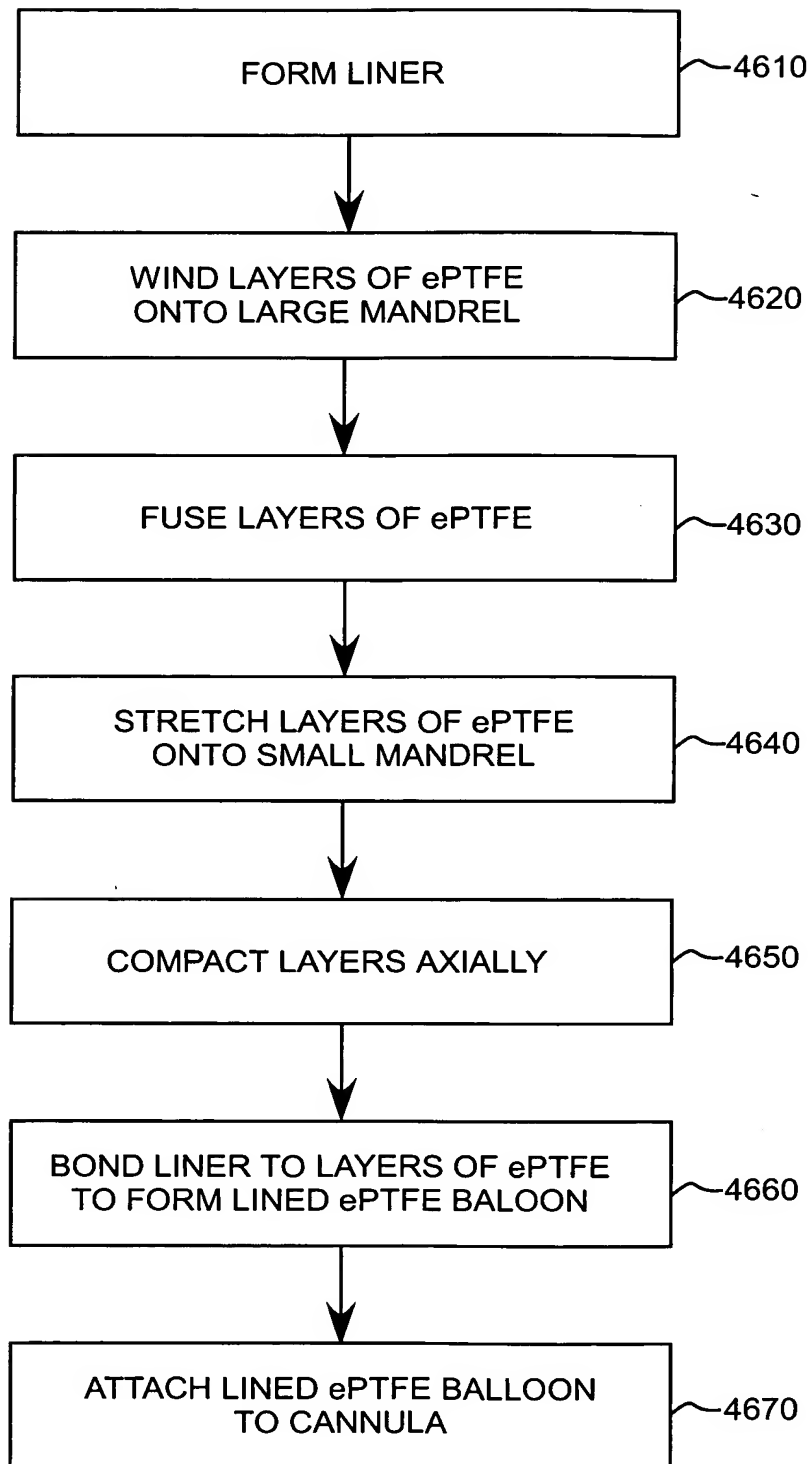


FIG. 46

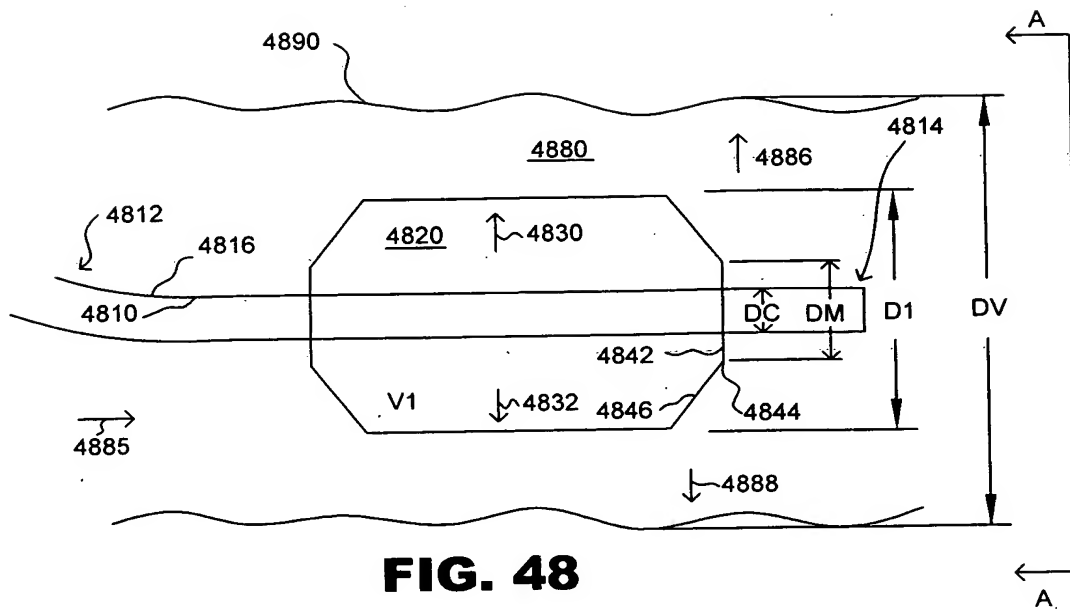


FIG. 48

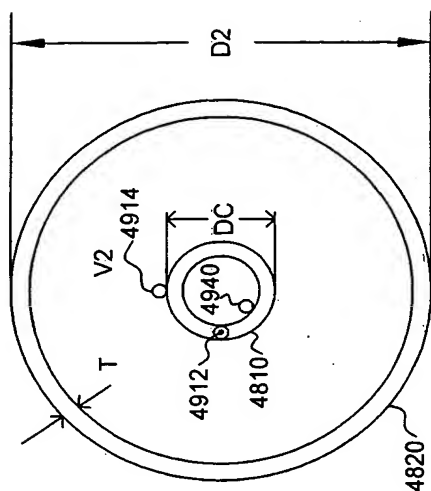
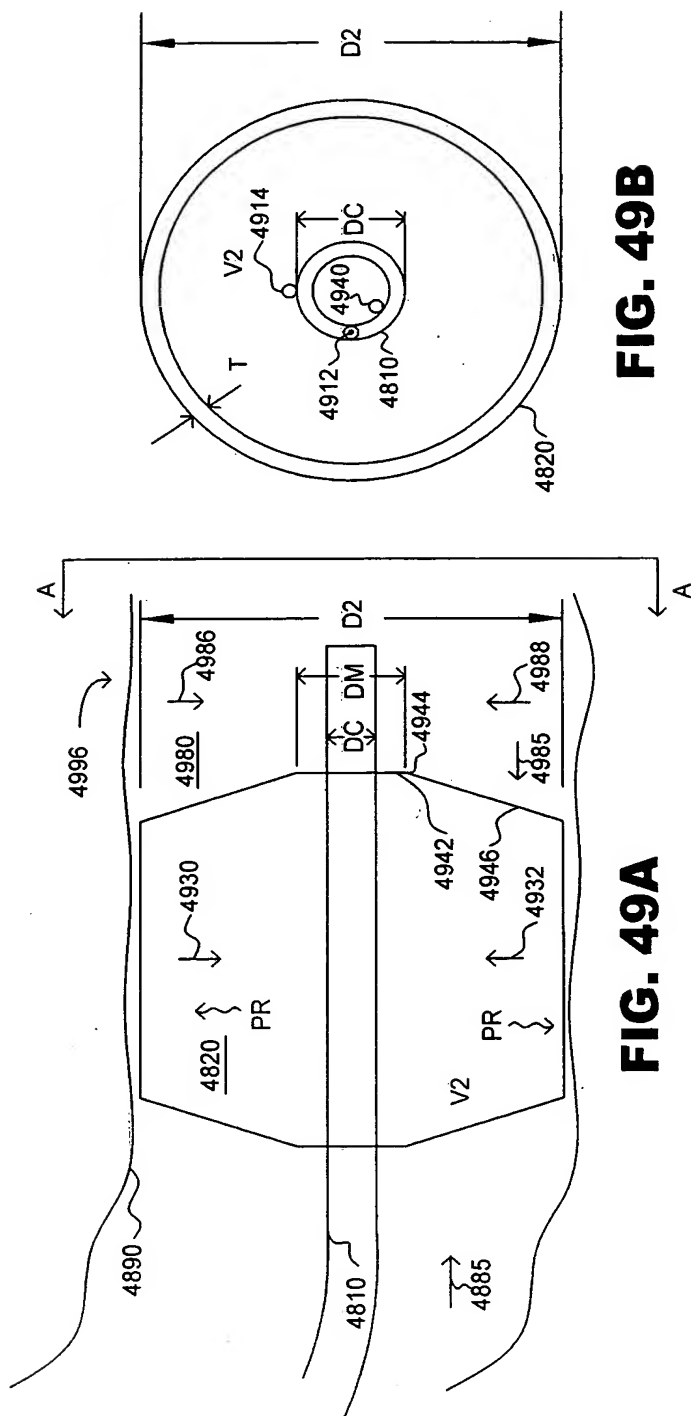


FIG. 49B

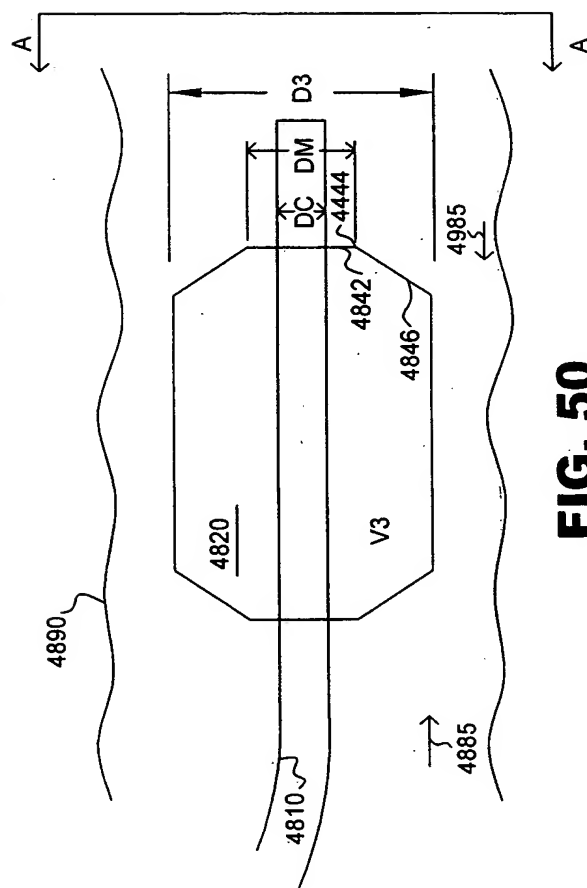


FIG. 50

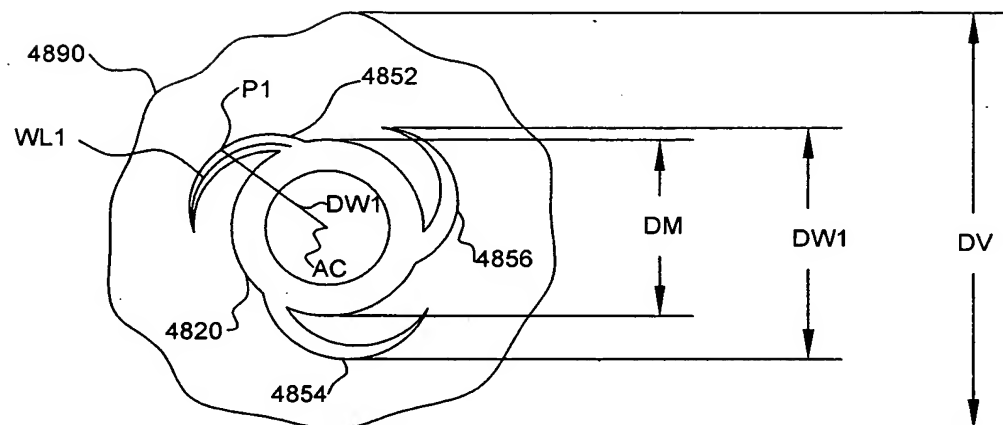


FIG. 51

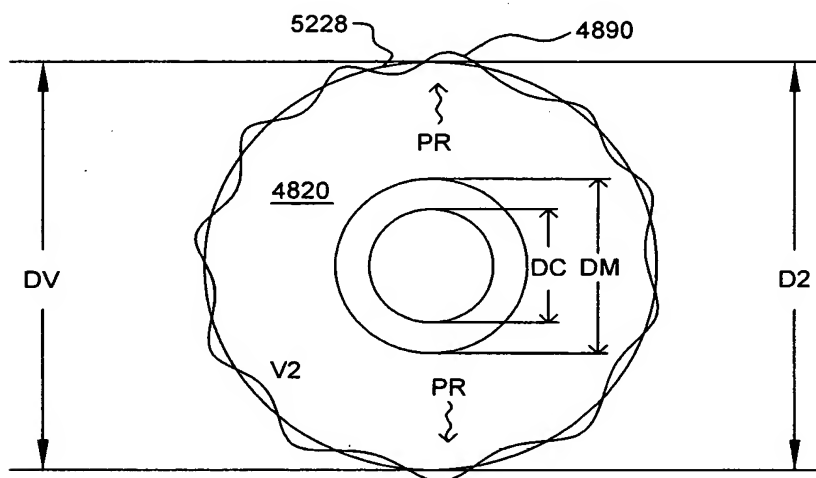


FIG. 52

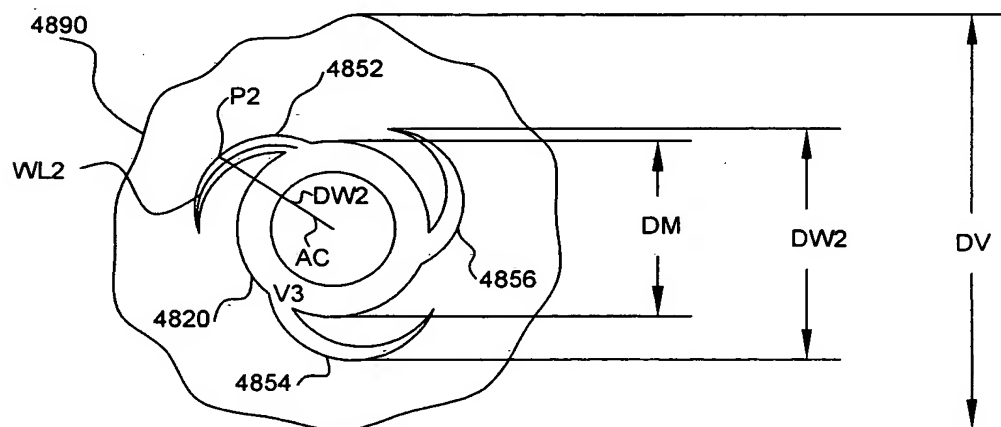


FIG. 53

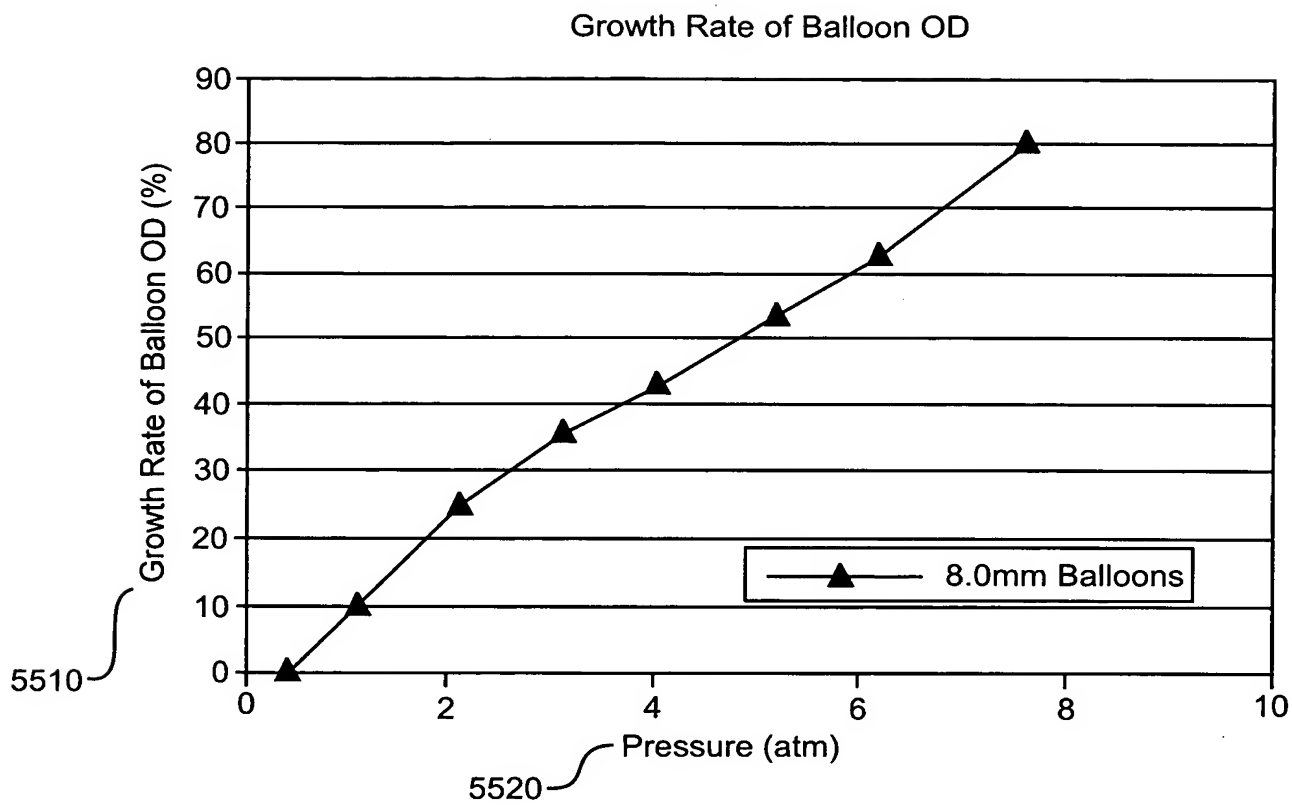


Fig.55

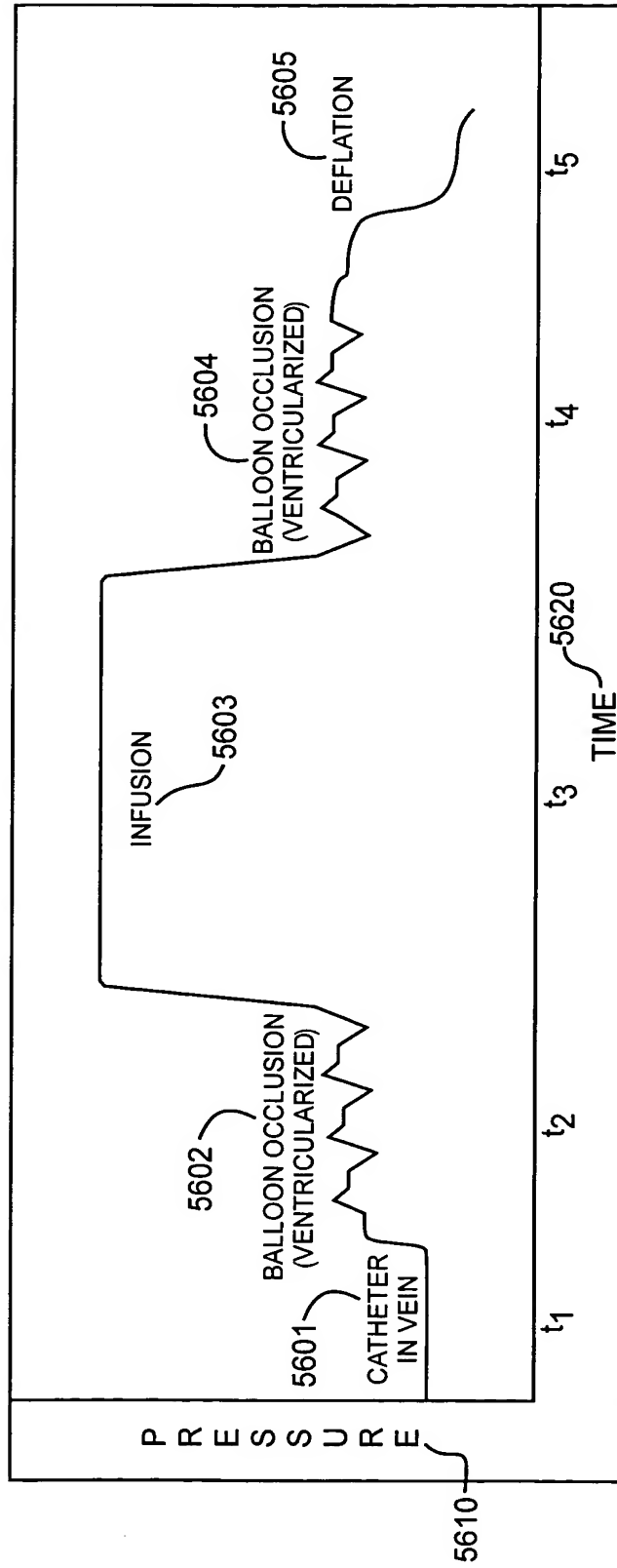


Fig. 56

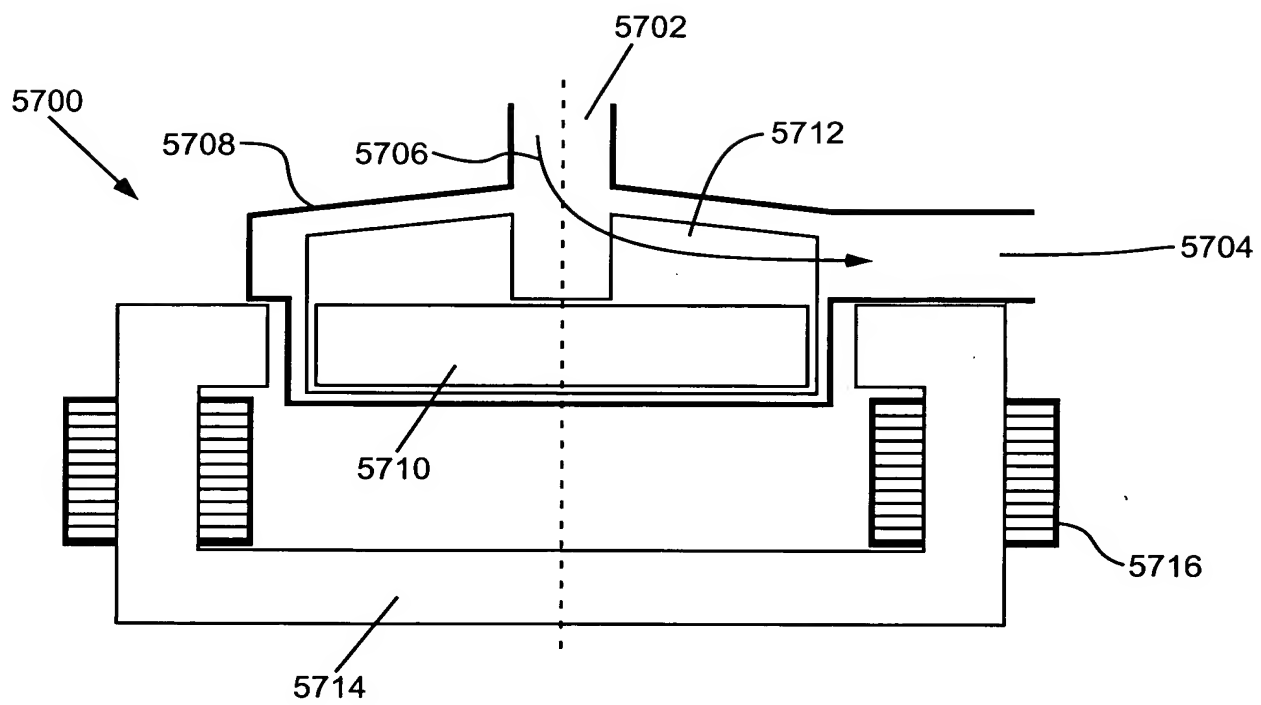


Fig. 57

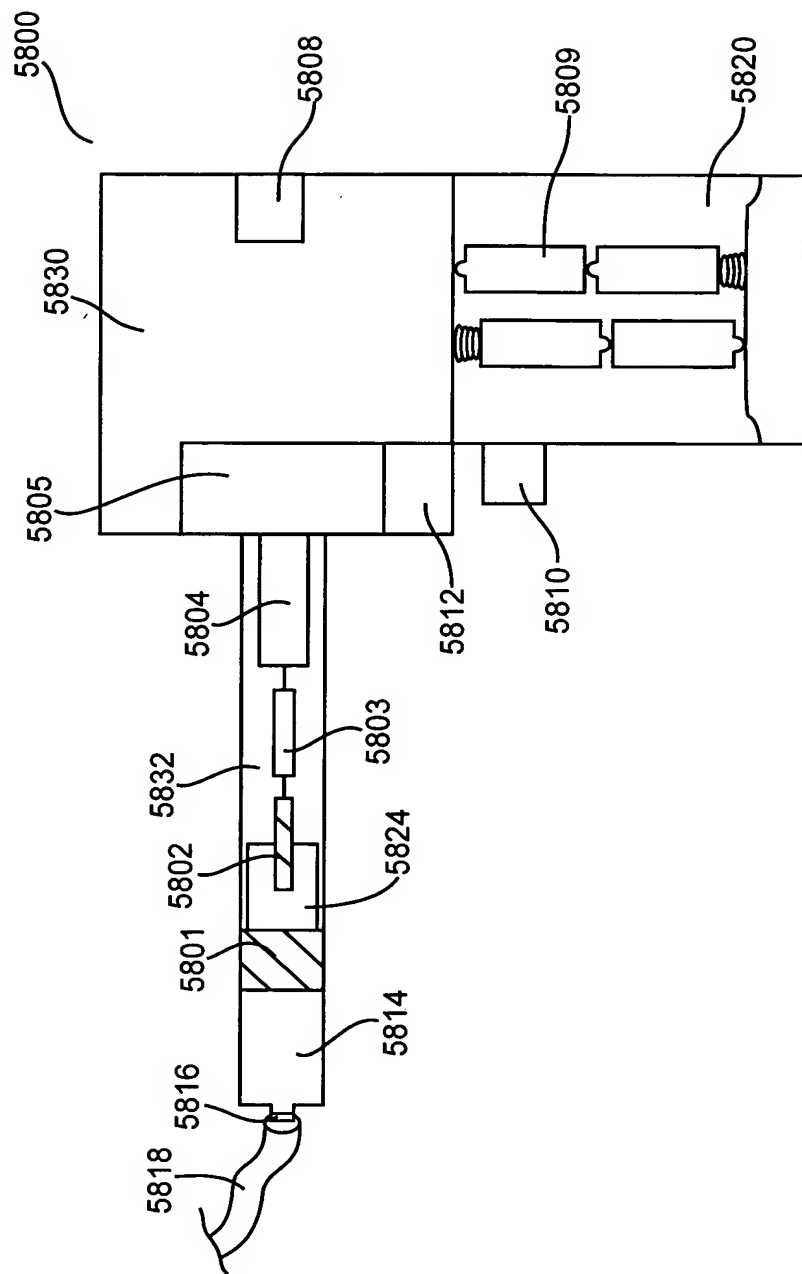


Fig. 58

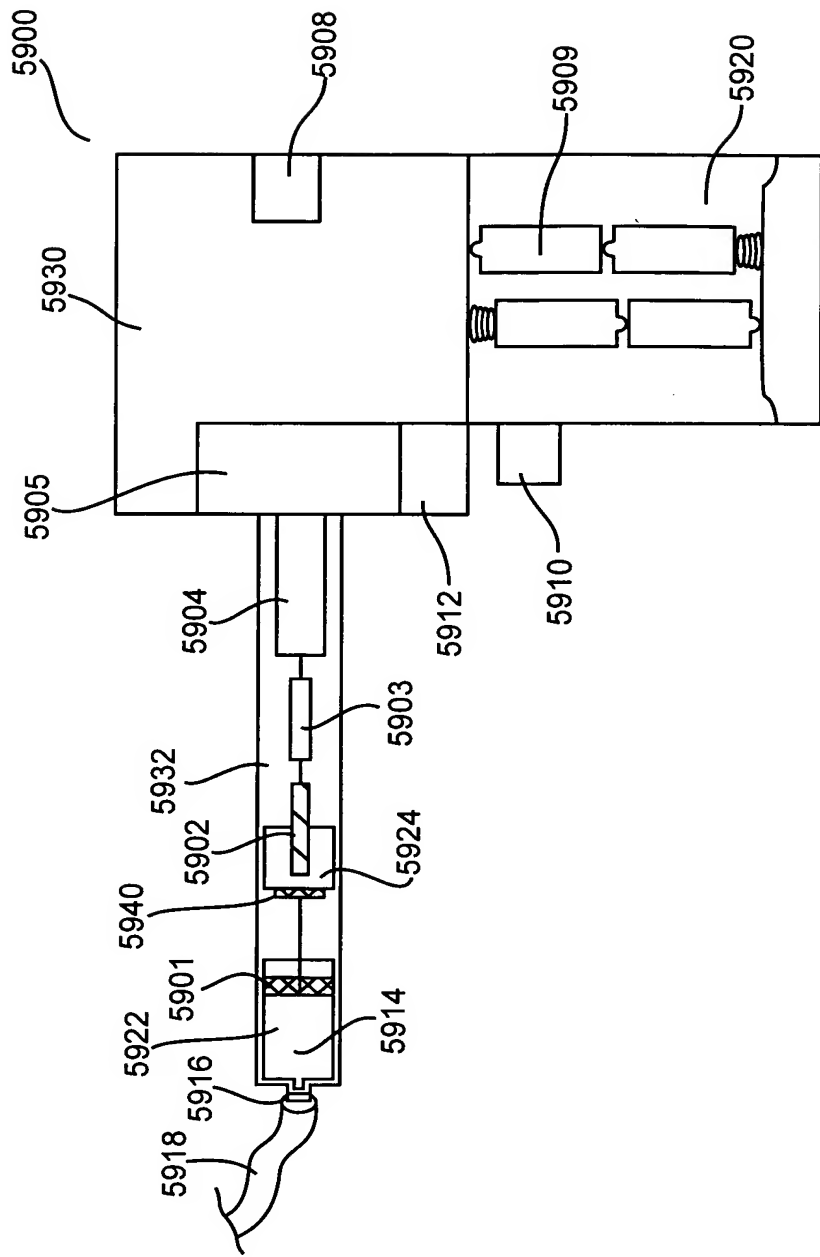


Fig. 59

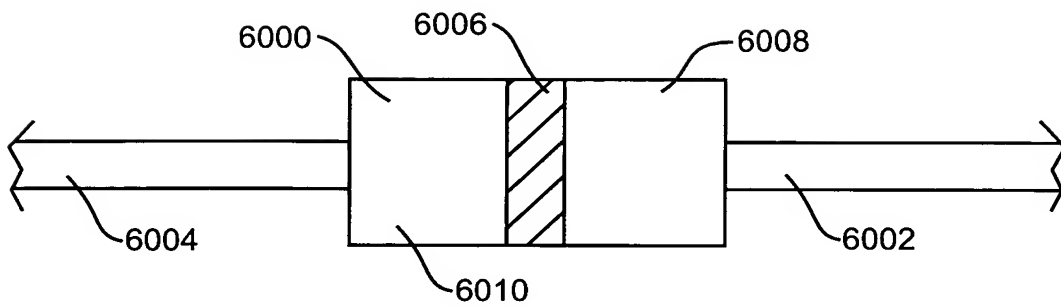


Fig. 60

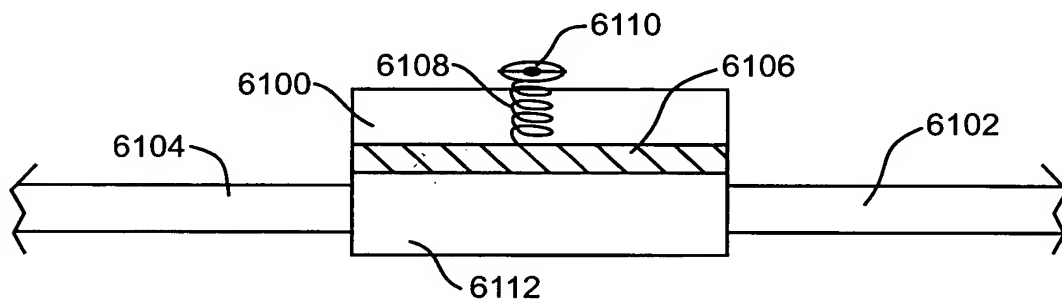


Fig. 61

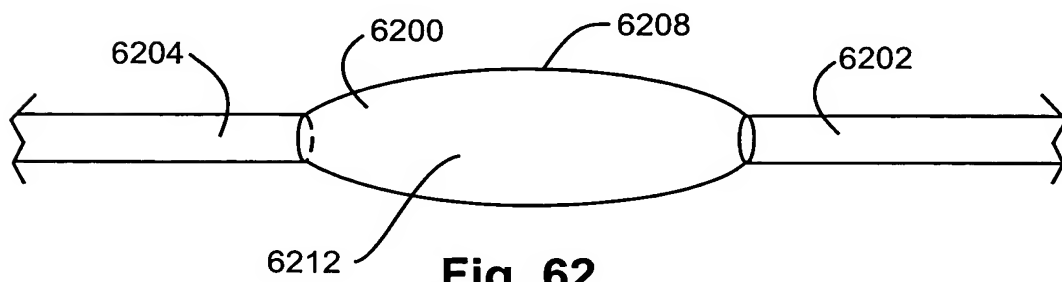


Fig. 62

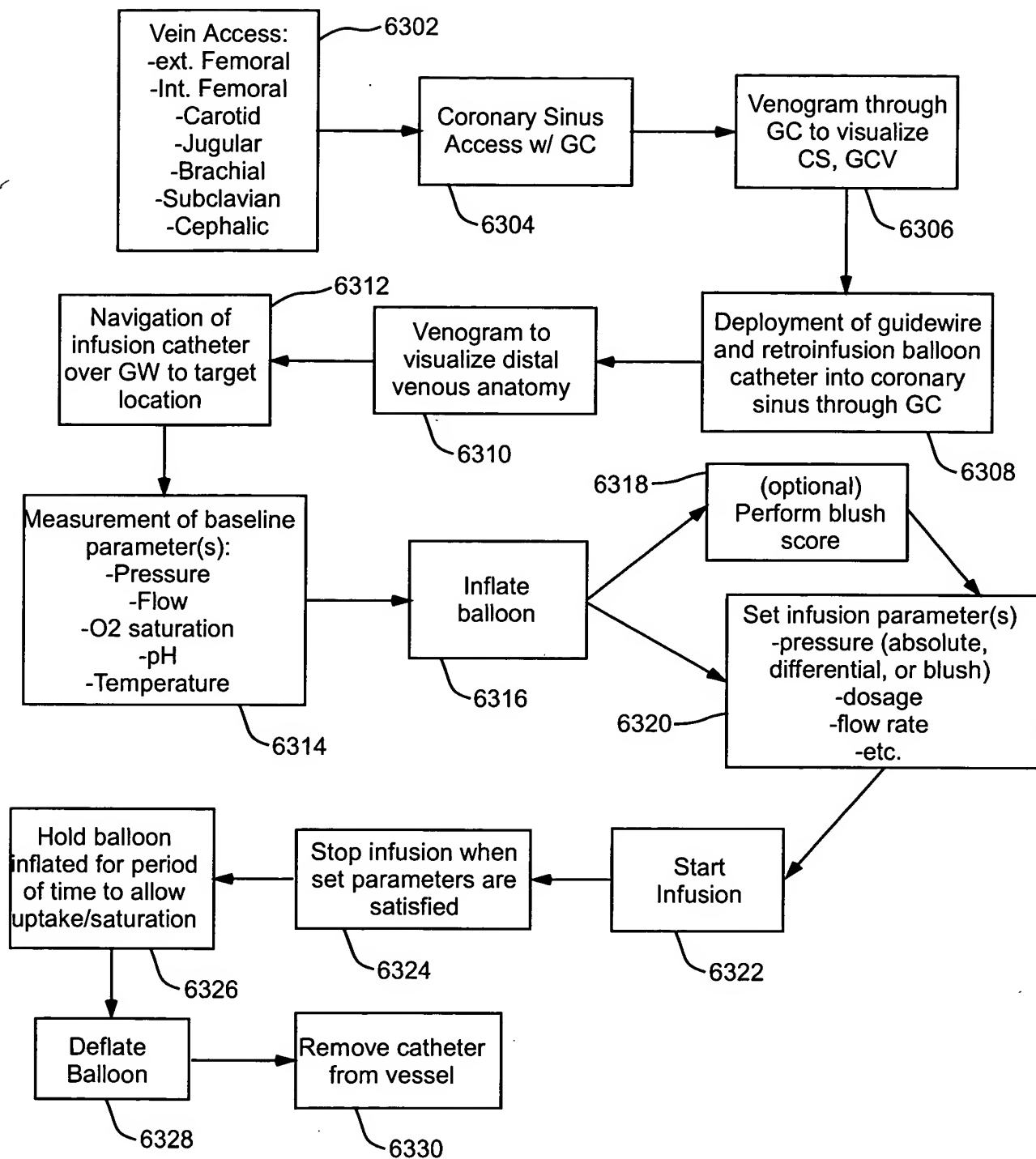


Fig. 63

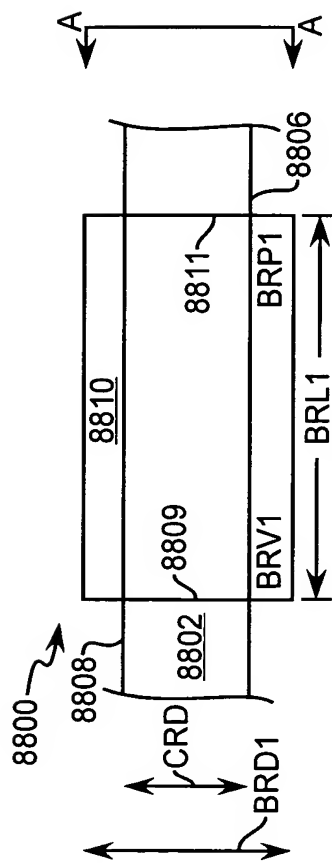


FIG. 64A

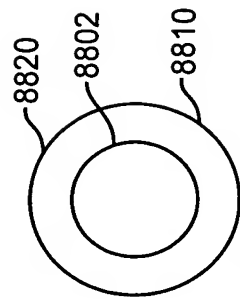


FIG. 64B

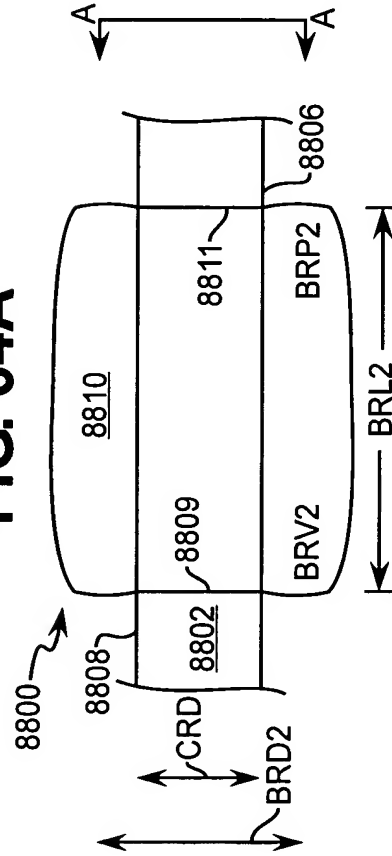


FIG. 65A

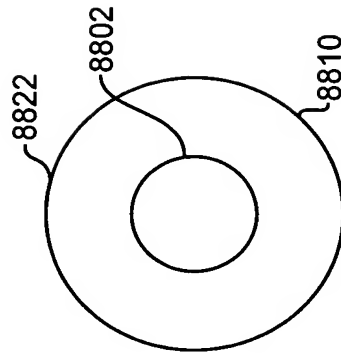
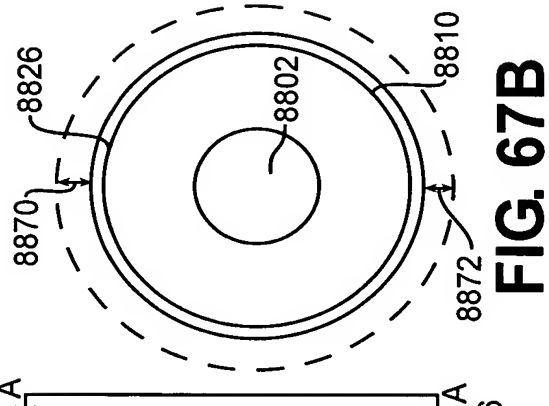
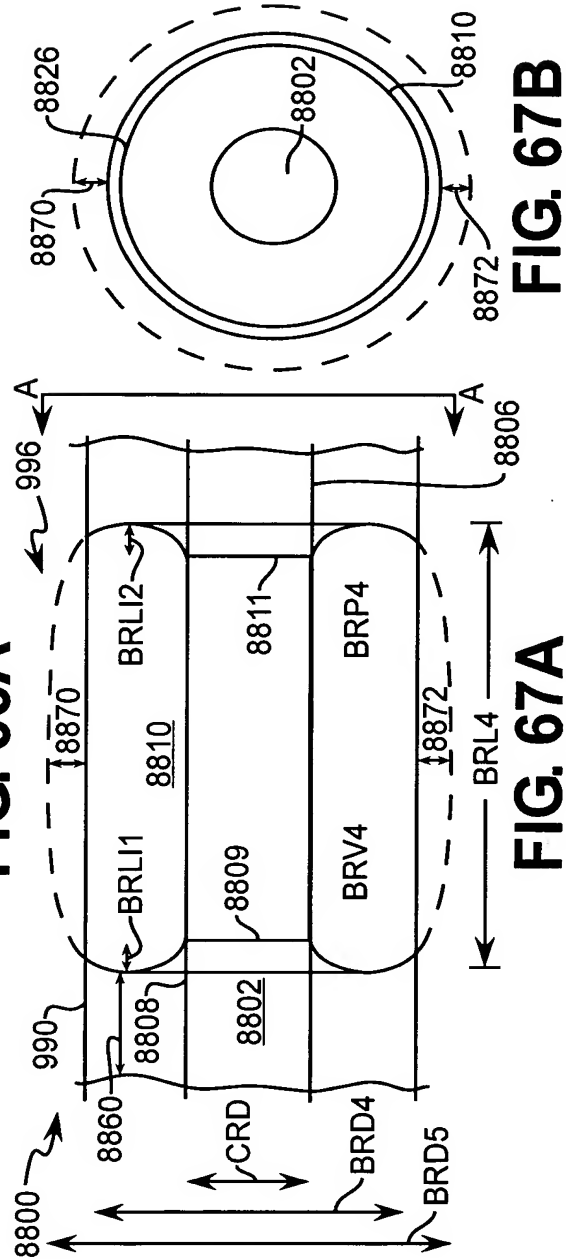
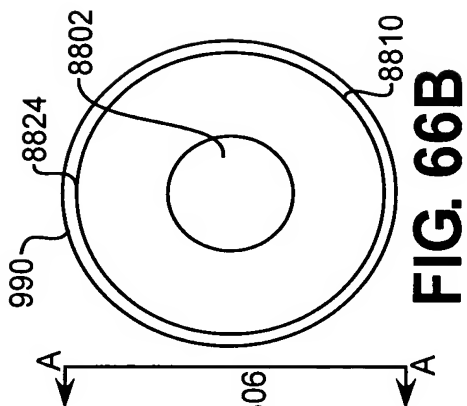
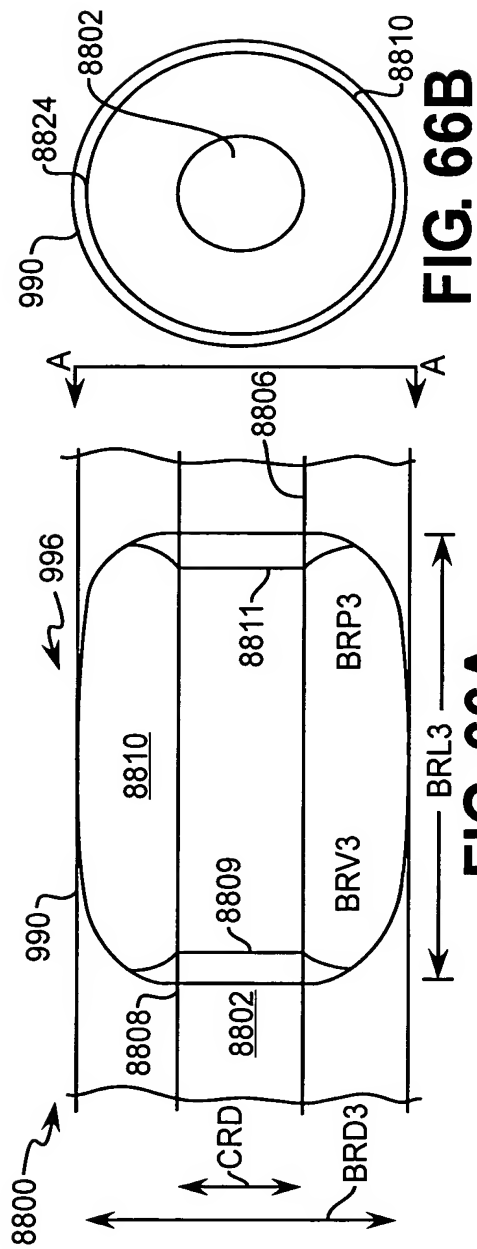


FIG. 65B



Volumetric Compliance, Pebax63D

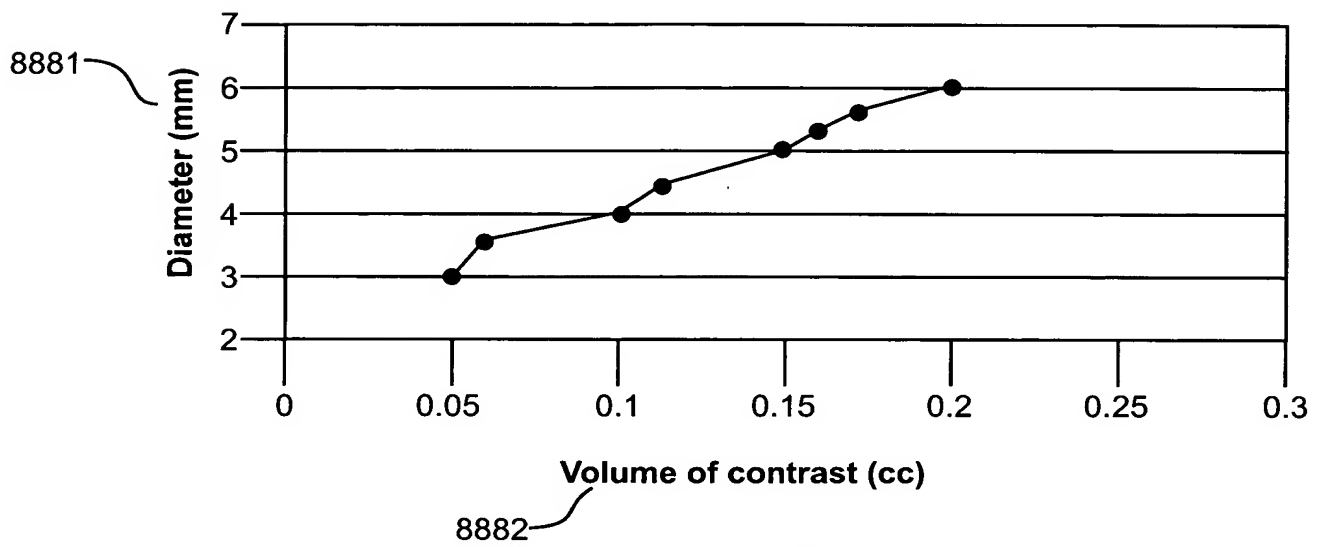


FIG. 68

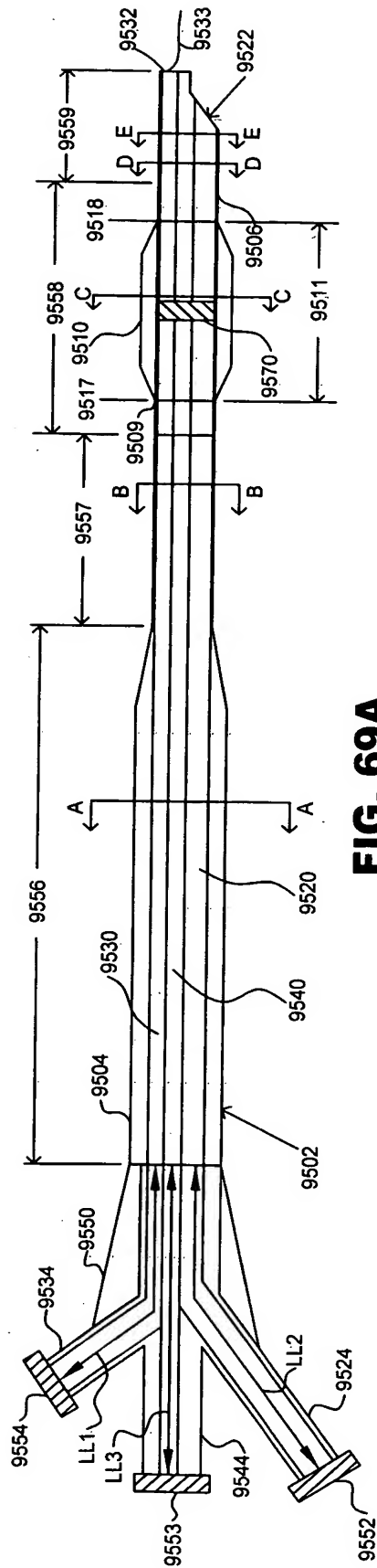


FIG. 69A

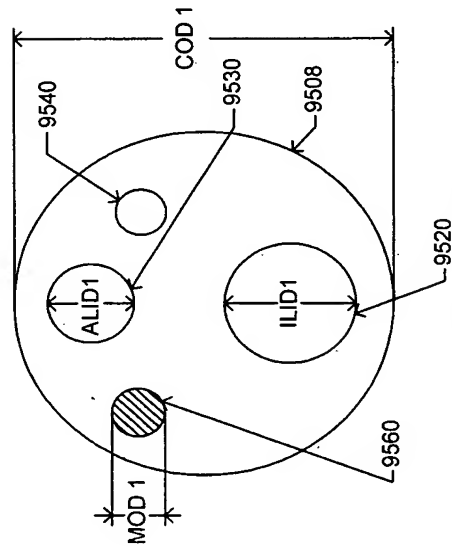


FIG. 69B

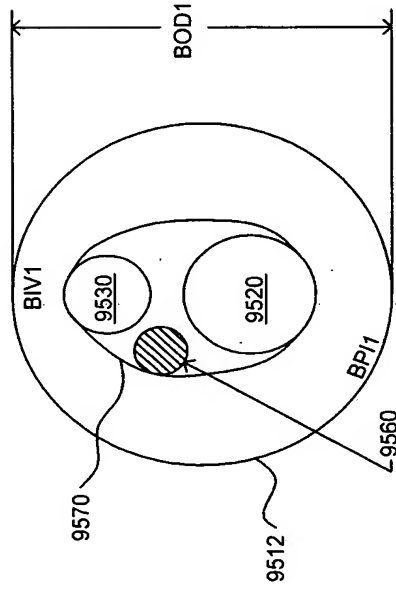


FIG. 69D

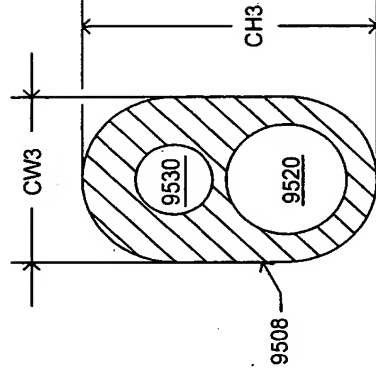


FIG. 69F

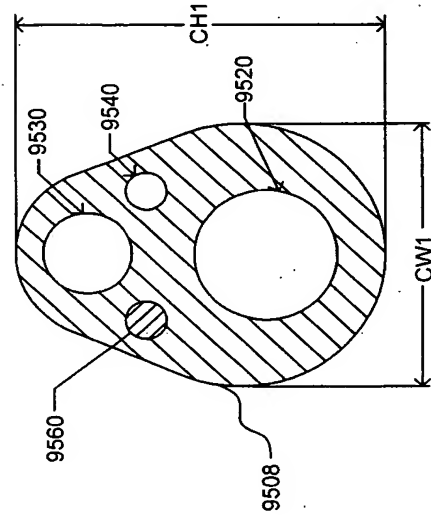


FIG. 69C

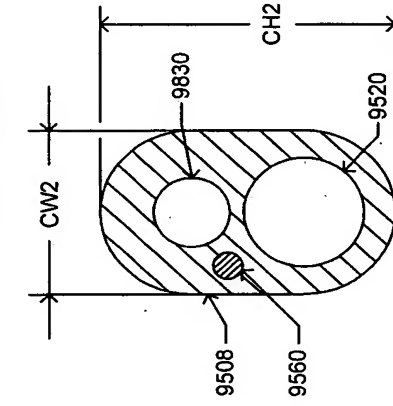


FIG. 69E

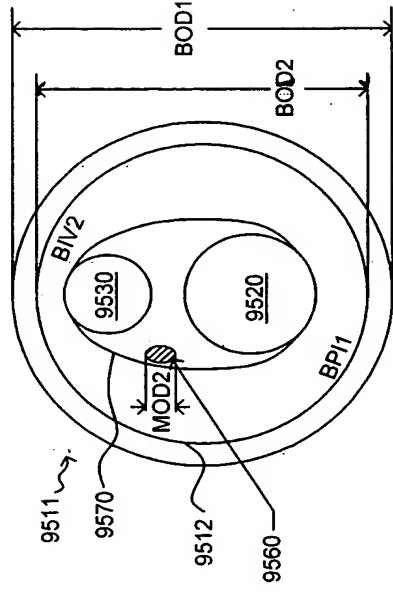


FIG. 70

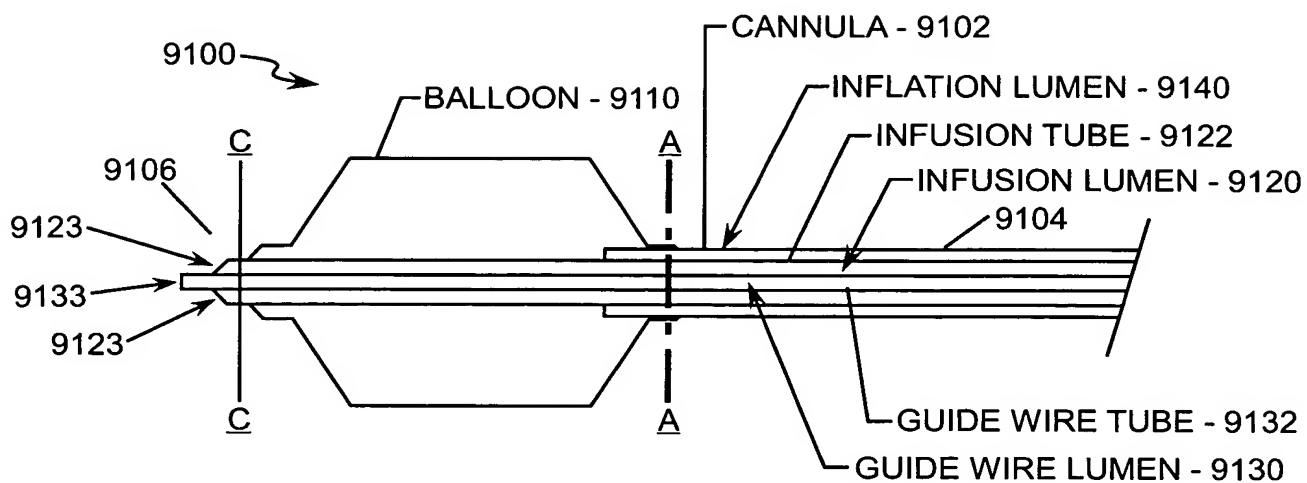
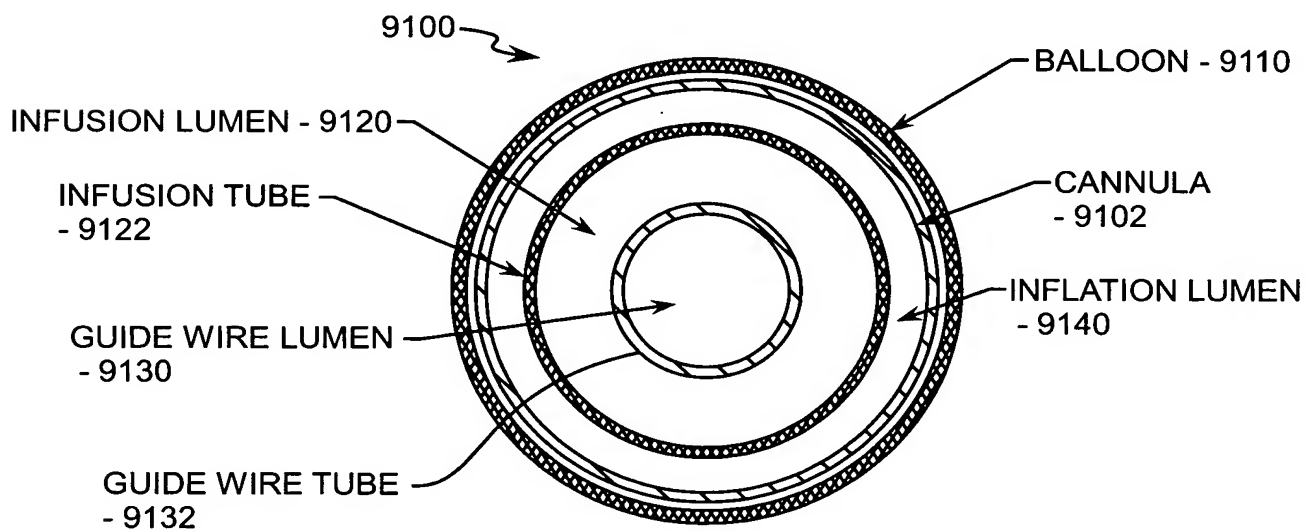


FIG. 71A



CROSS-SECTIONAL VIEW A-A

FIG. 71B

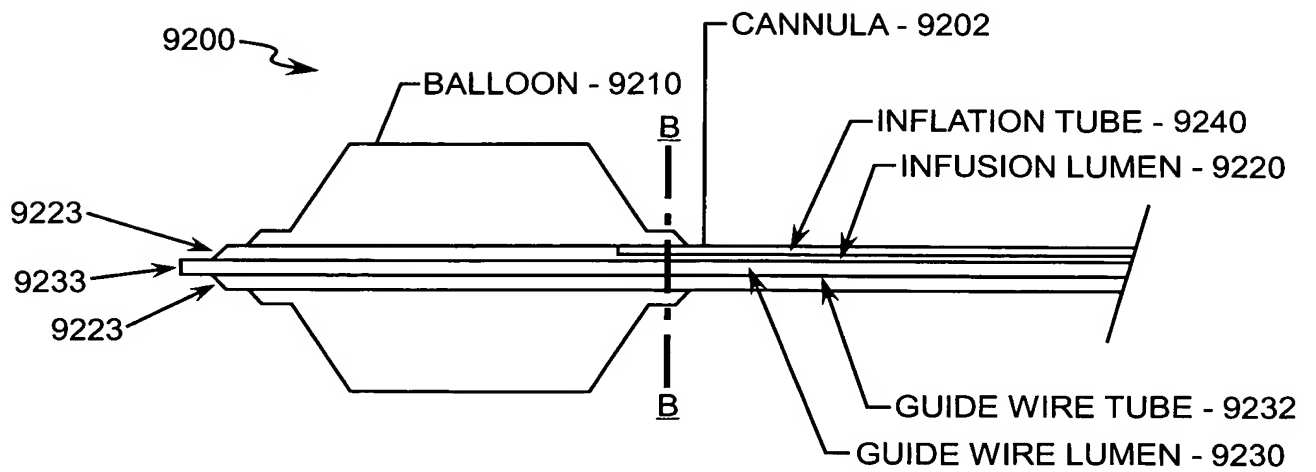
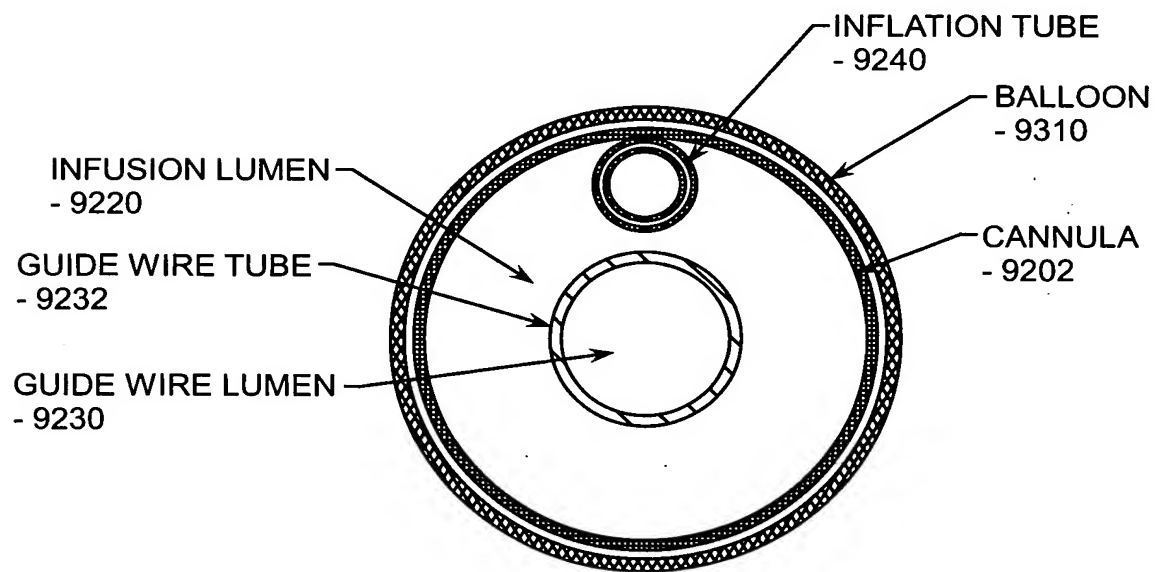


FIG. 72A



CROSS-SECTION VIEW B-B

FIG. 72B

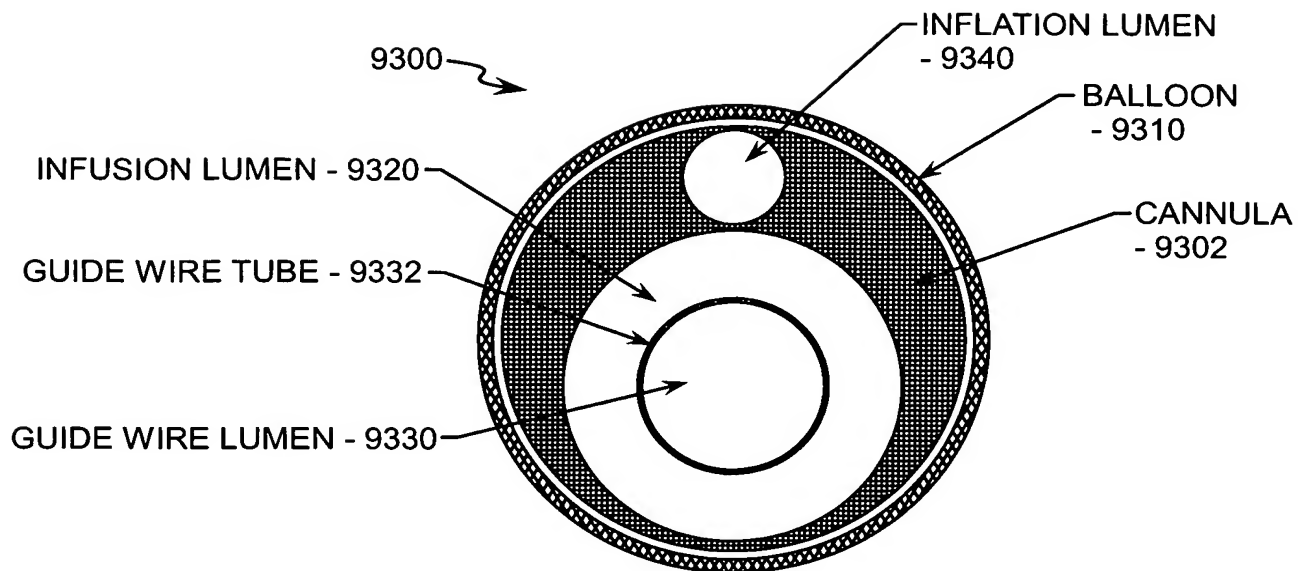


FIG. 73

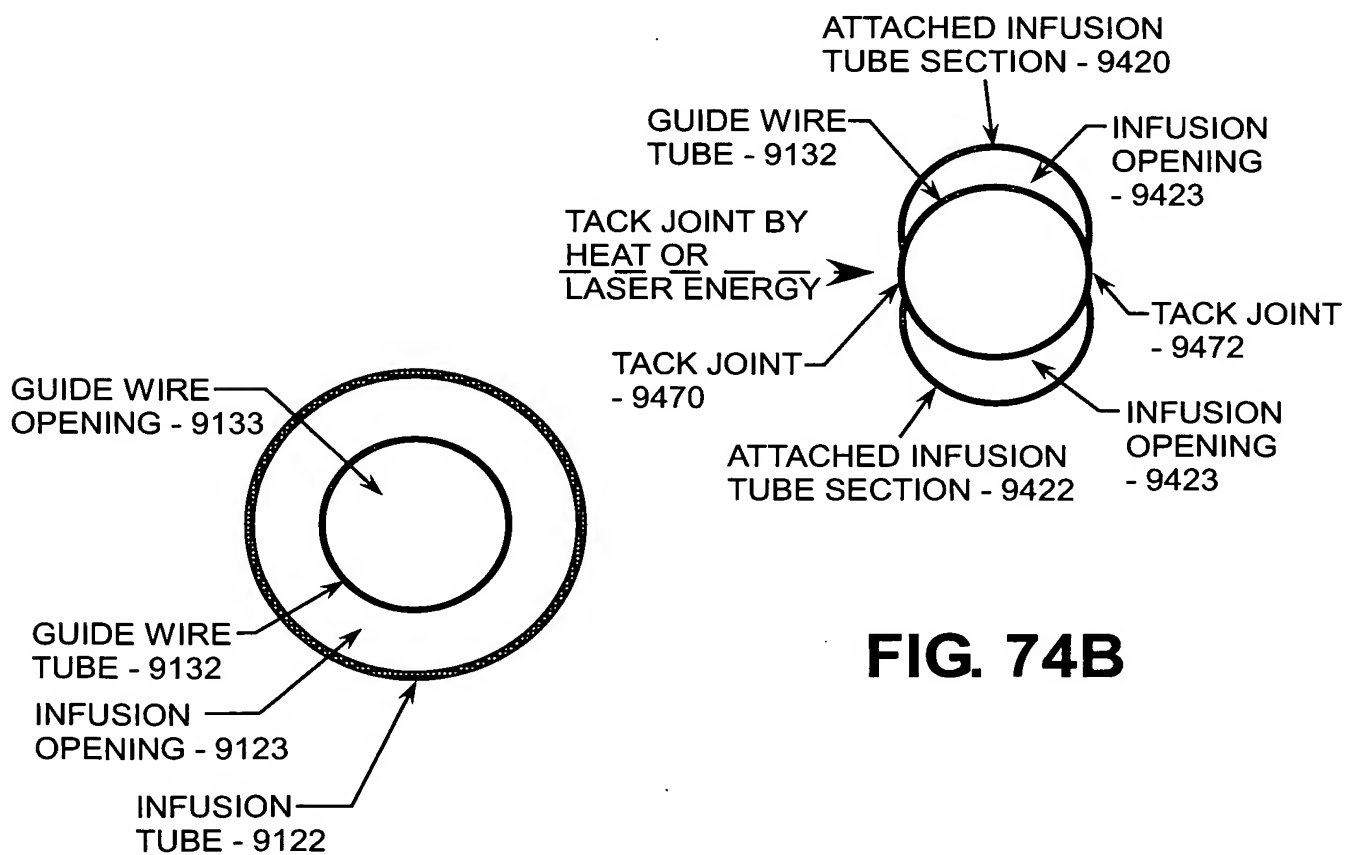


FIG. 74B

FIG. 74A

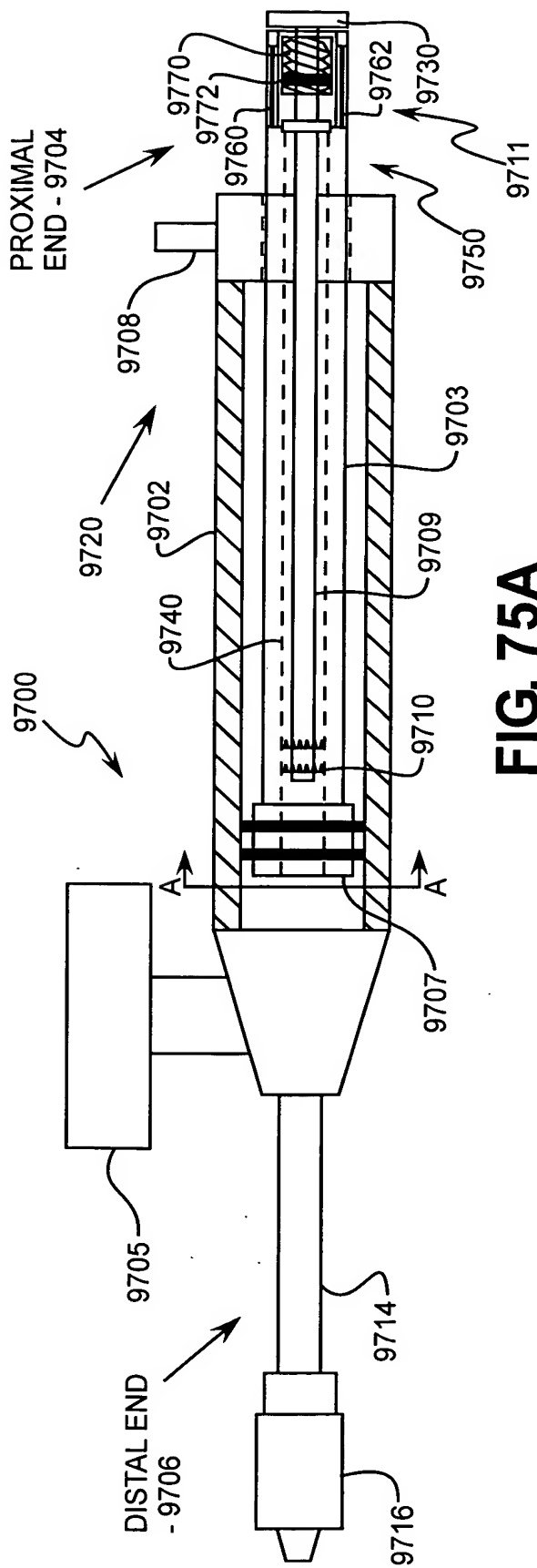


FIG. 75A

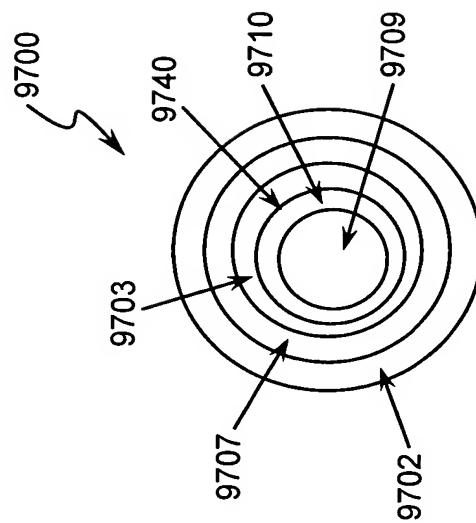


FIG. 75B

FIG. 76

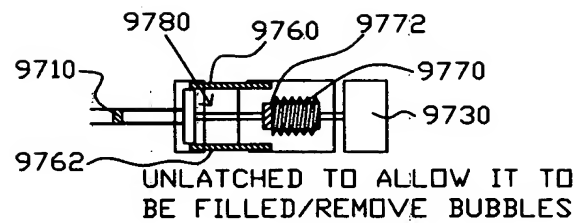


FIG. 77

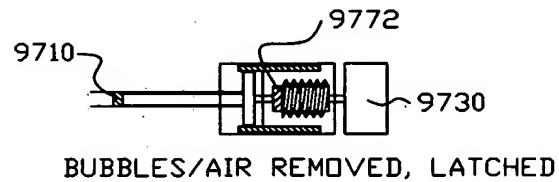


FIG. 78

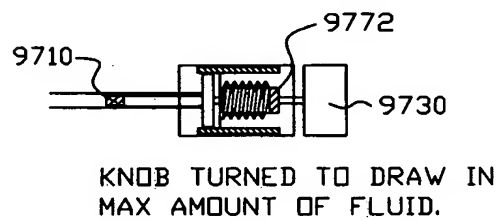


FIG. 79

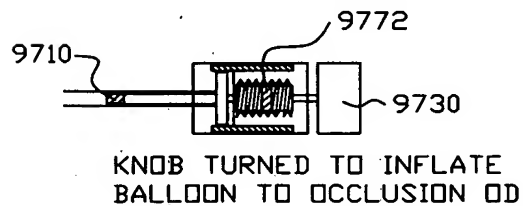
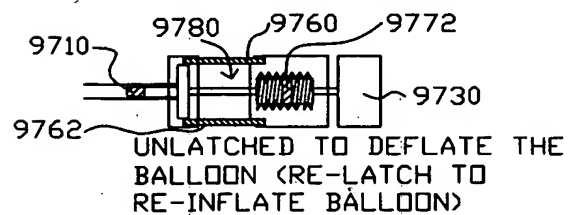


FIG. 80



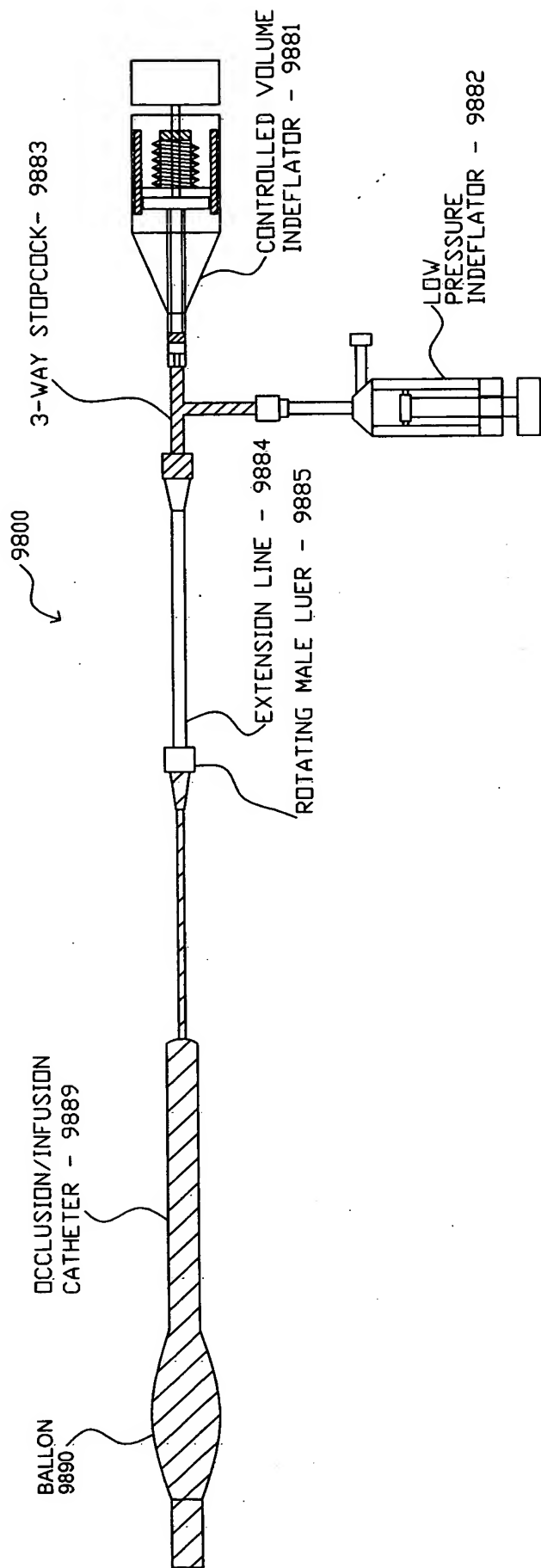


FIG. 81

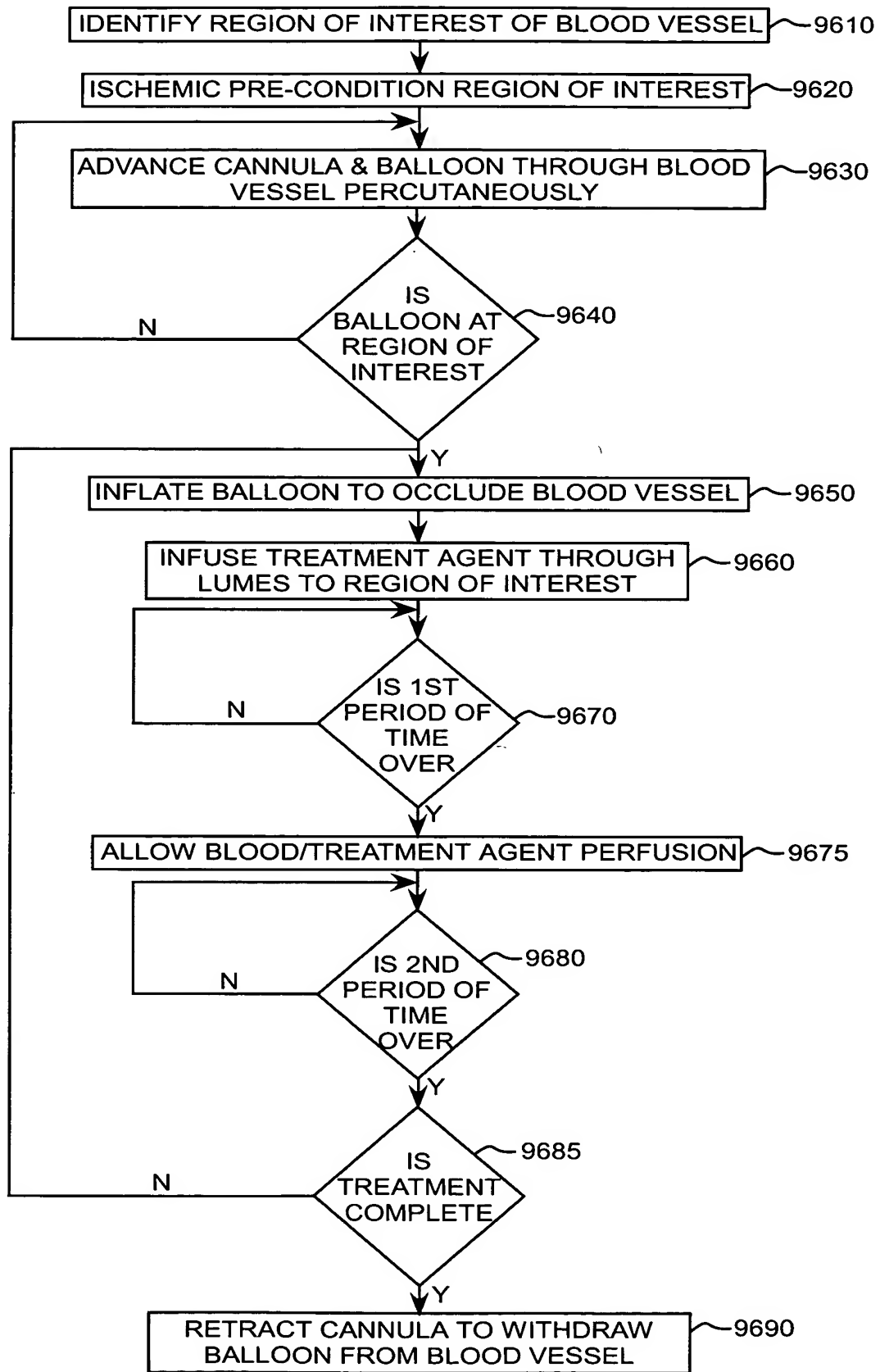


FIG. 82

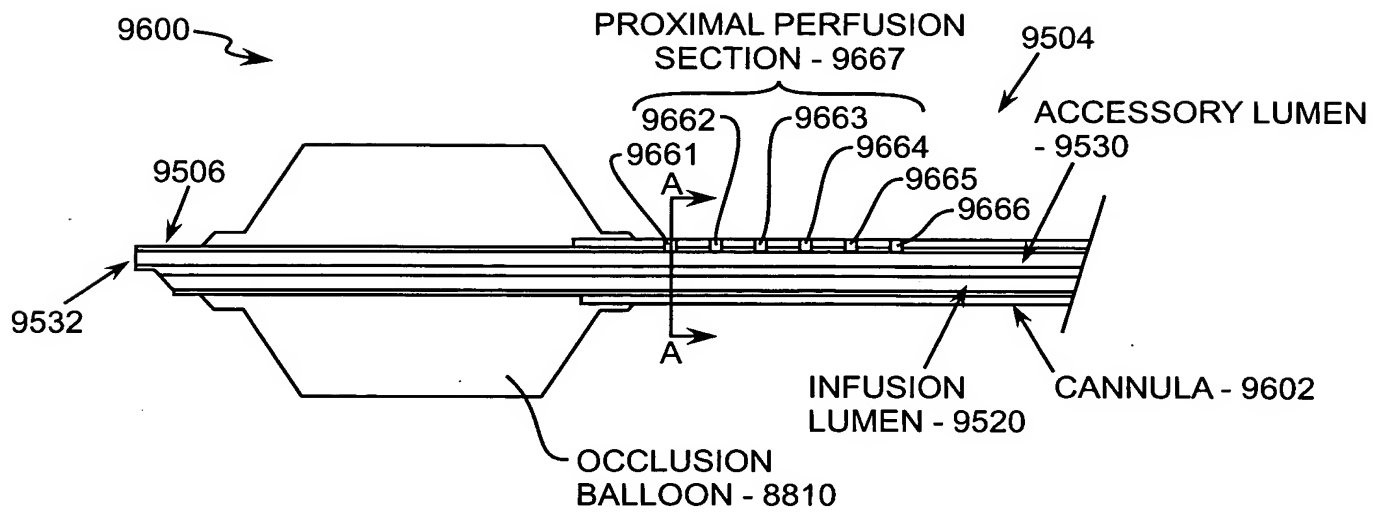


FIG. 83

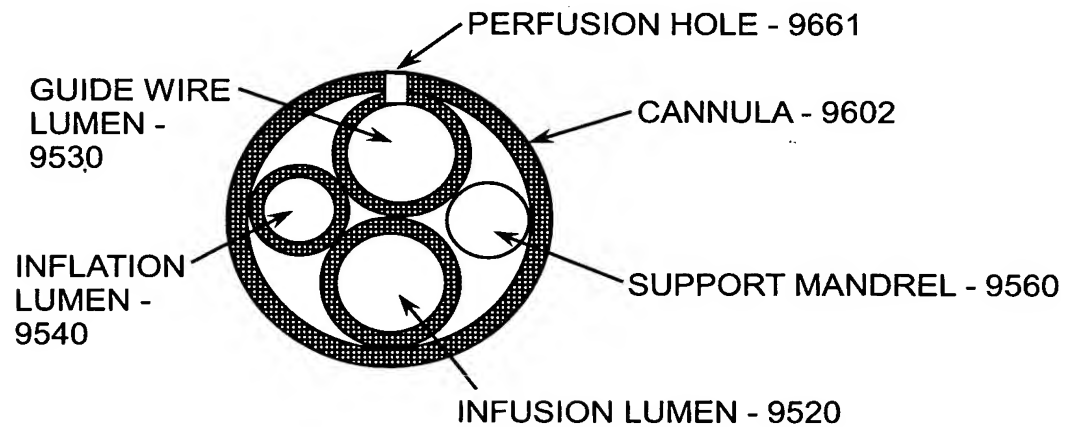


FIG. 84

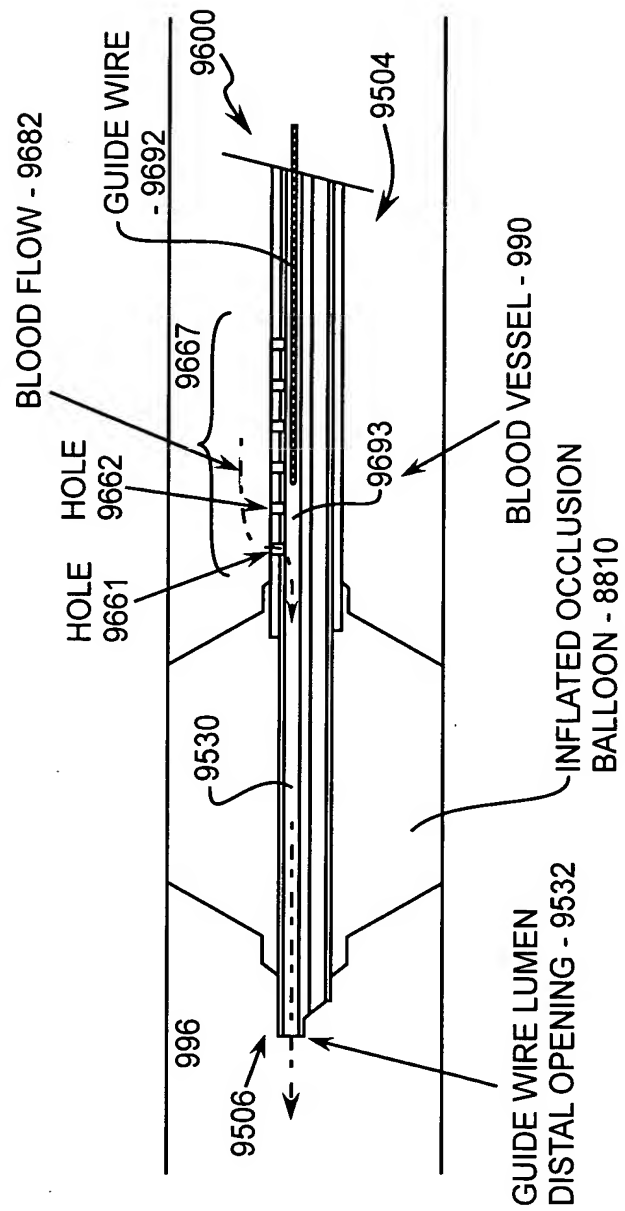


FIG. 85

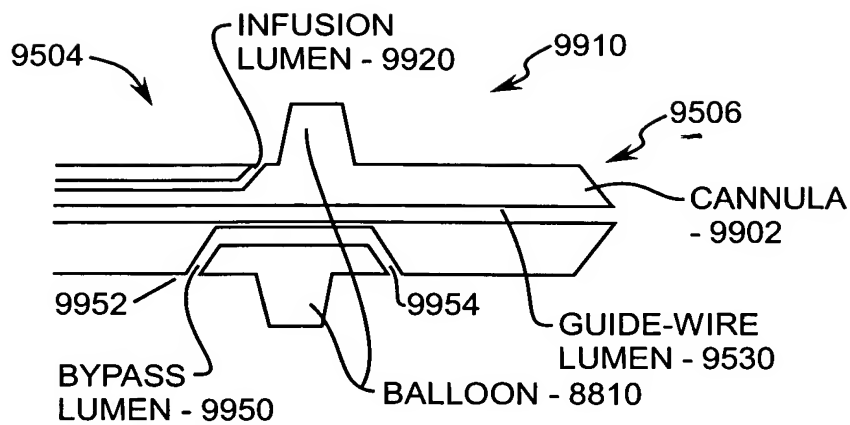


FIG. 86

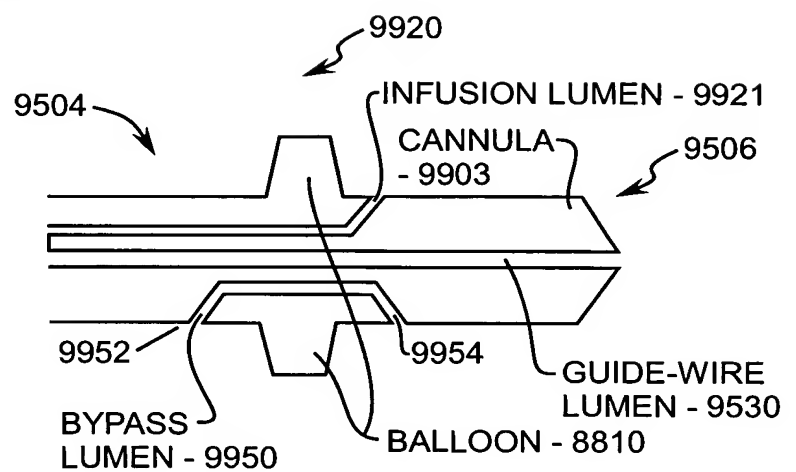


FIG. 87

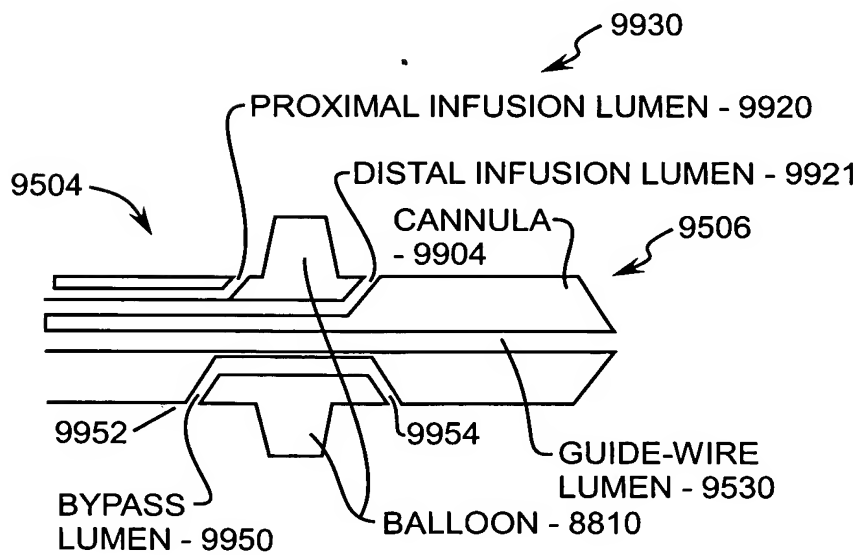


FIG. 88

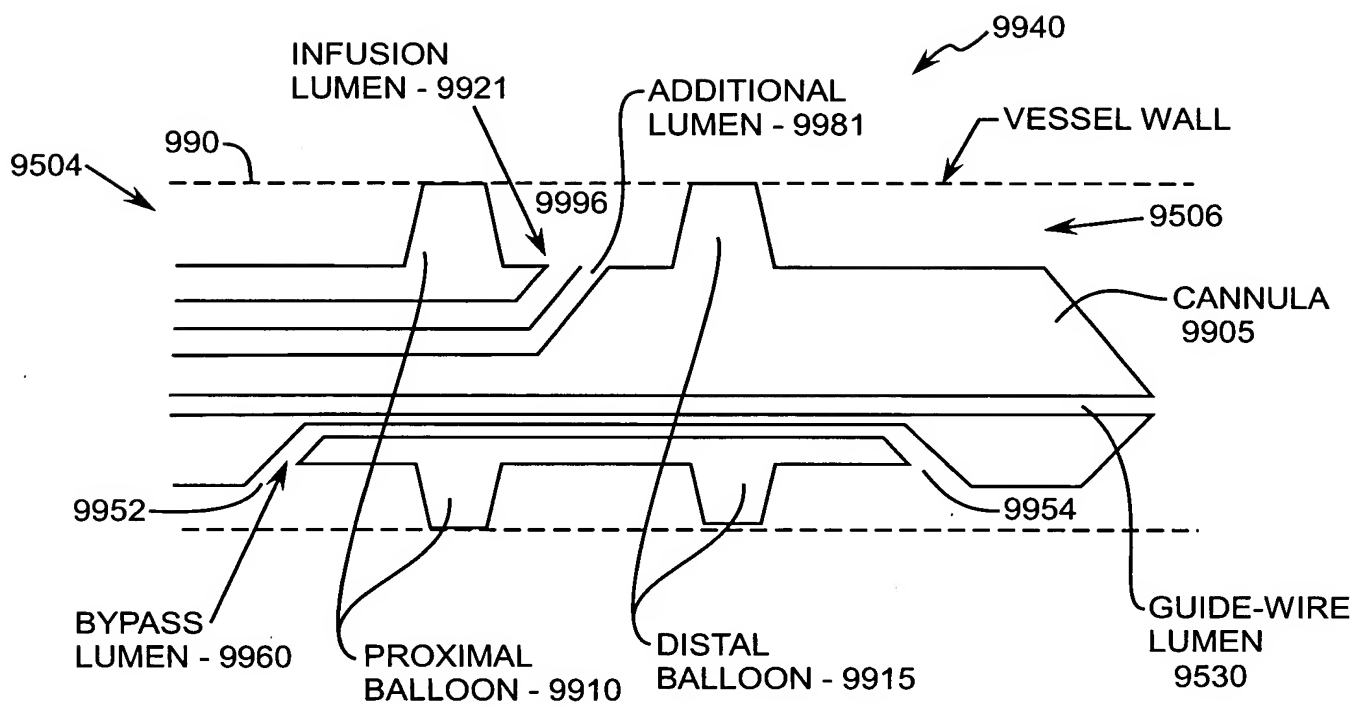


FIG. 89